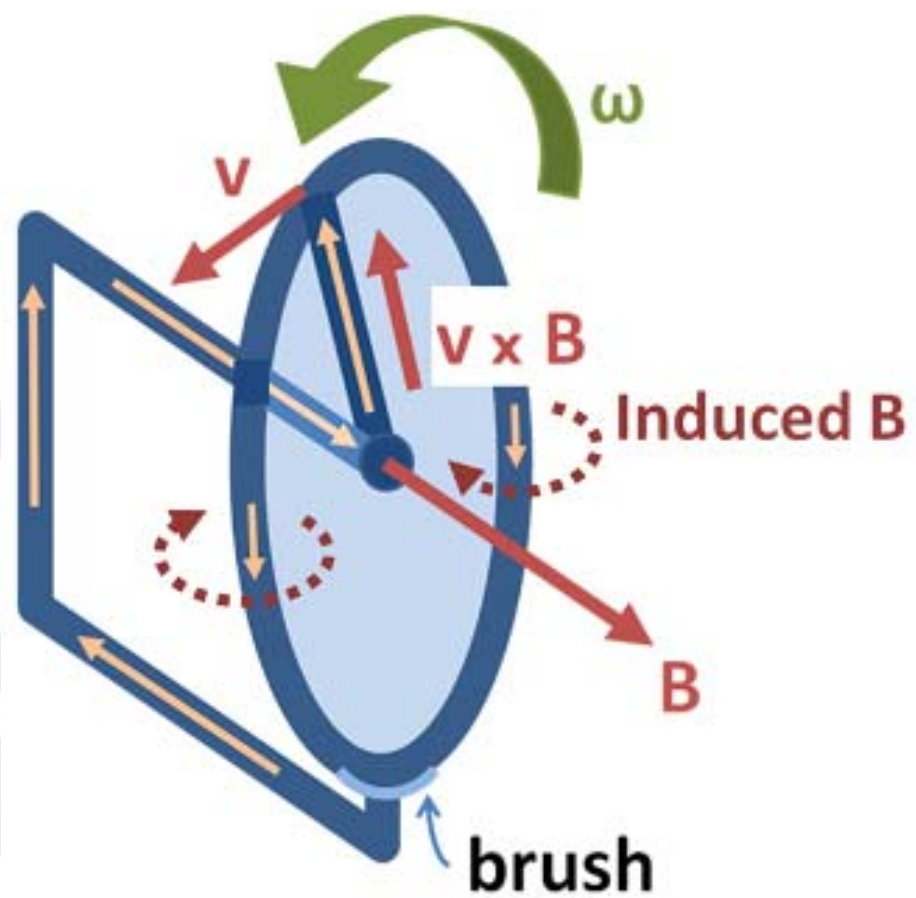




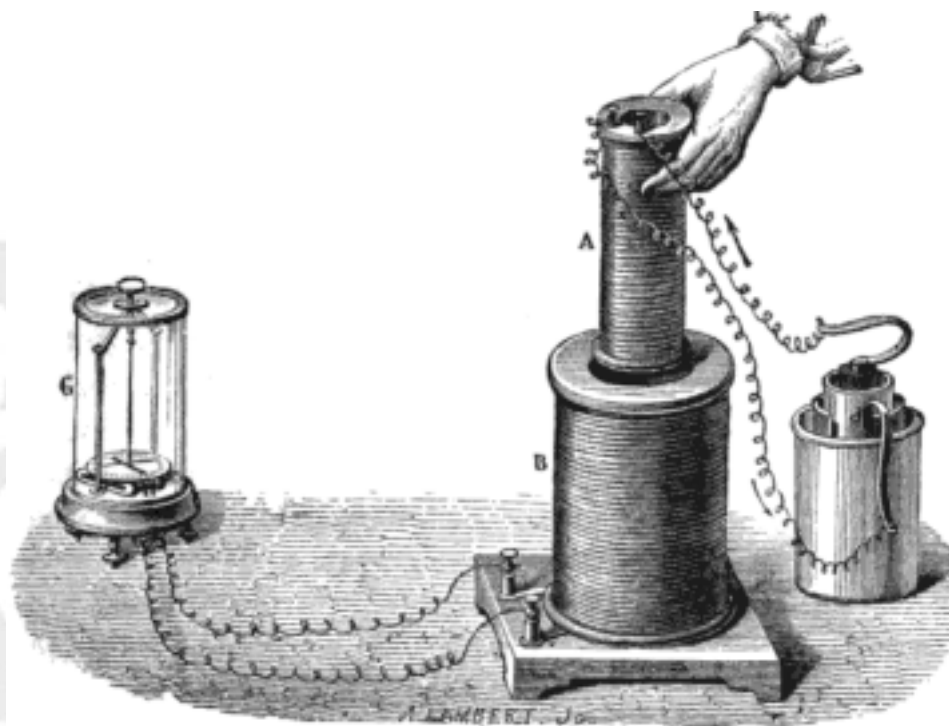
上课是不是照着ppt念？！



第八章 电磁感应



法拉第的圆盘发电机

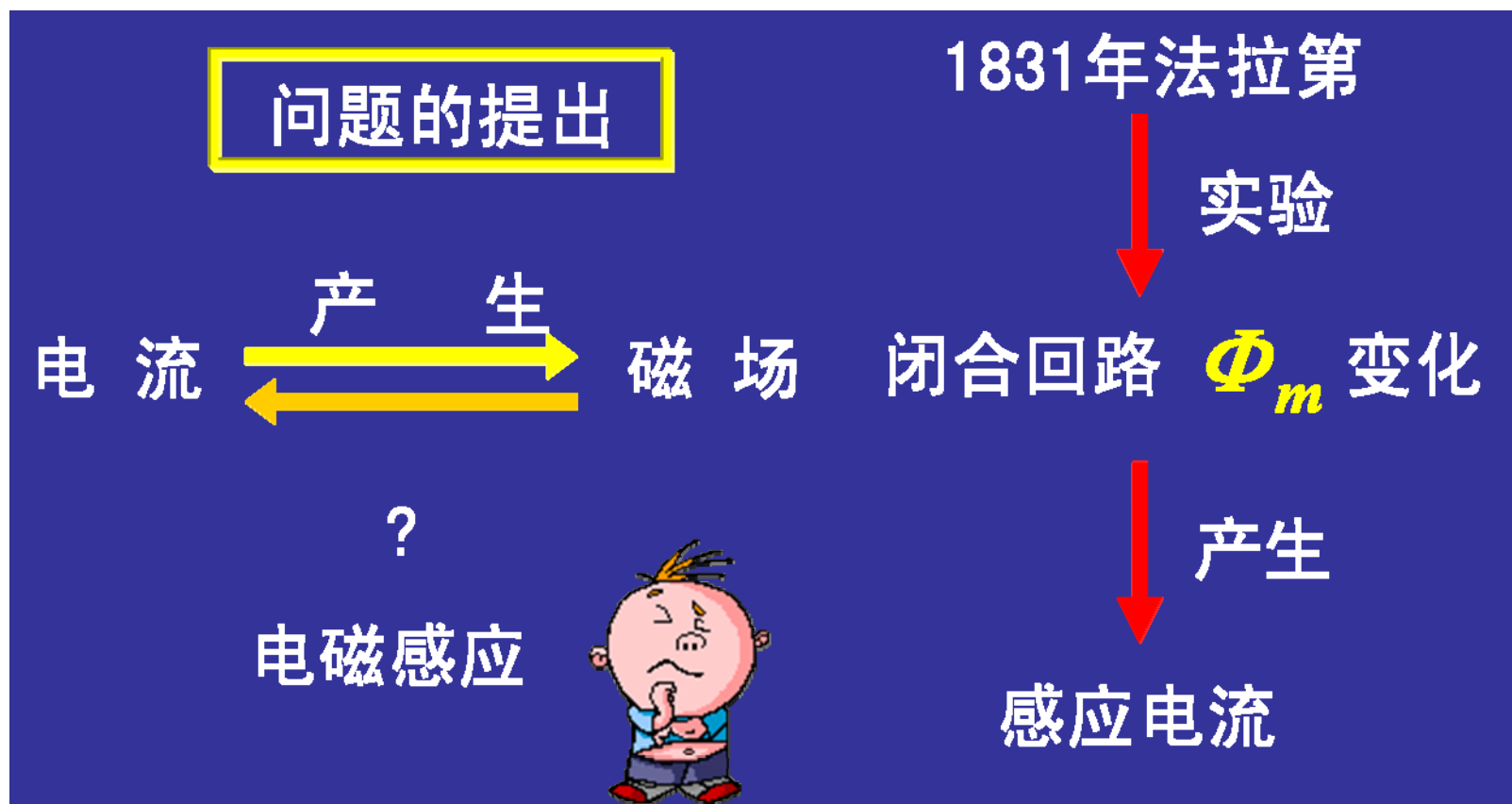


法拉第的电磁感应实验装置



电磁学08-01: 电磁感应实验现象

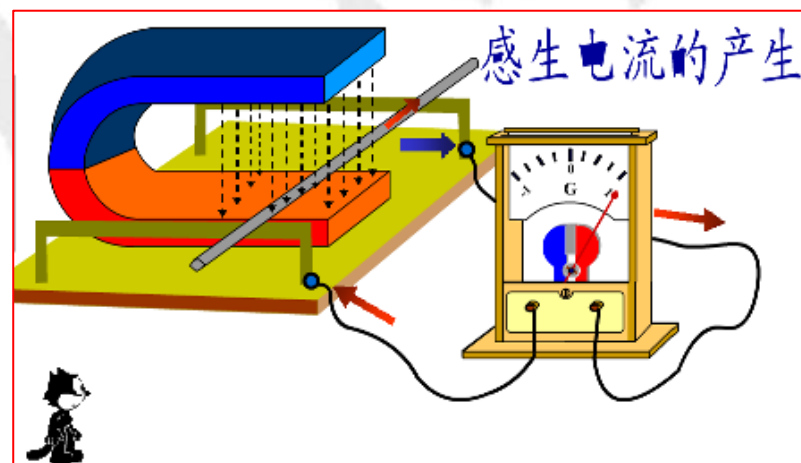
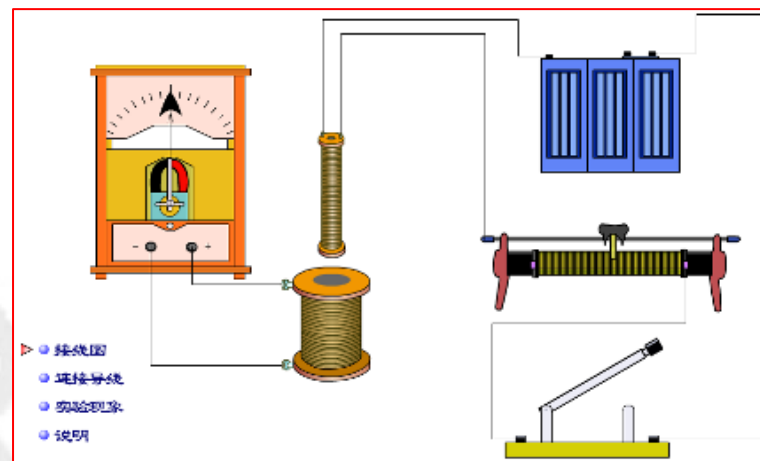
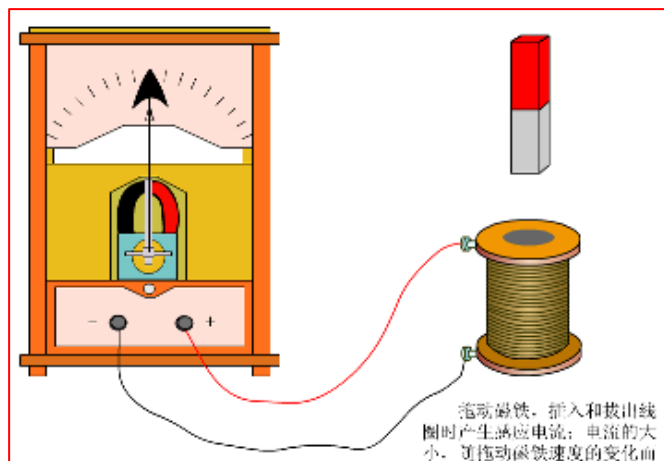
□ 电磁感应:





电磁学08-01: 电磁感应实验现象

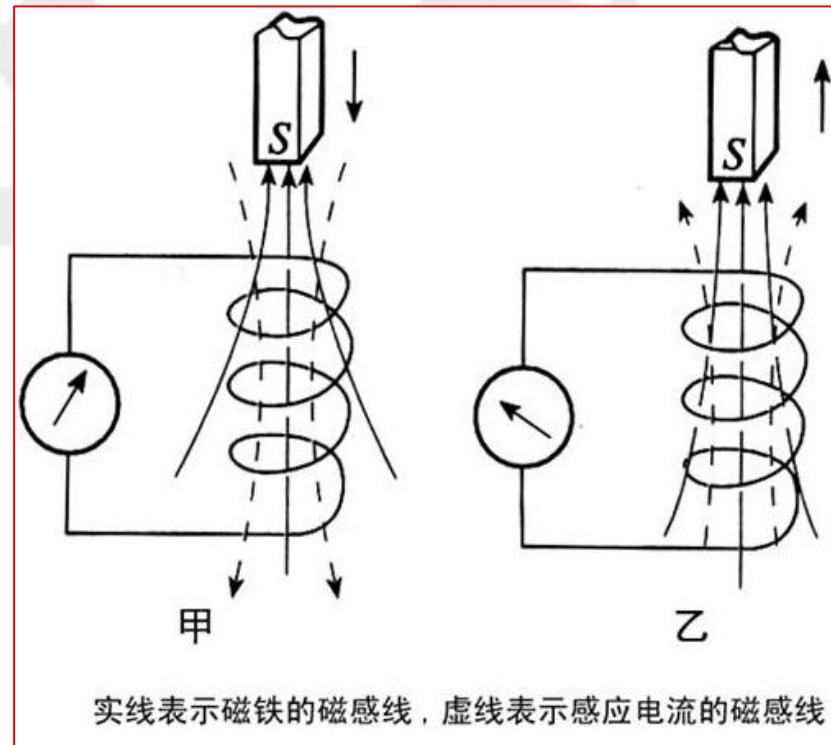
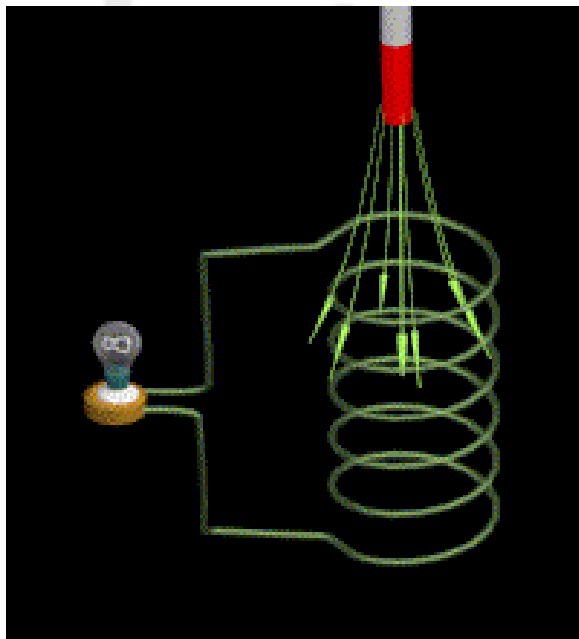
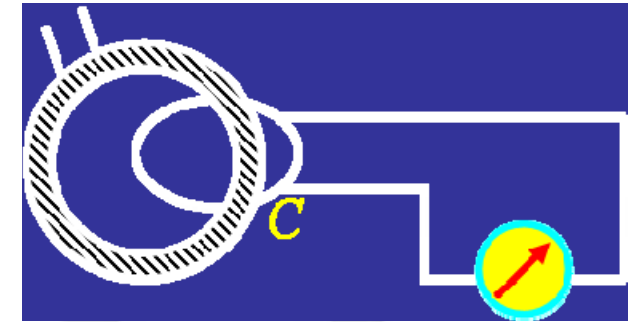
□ 电磁感应:





电磁学08-01: 电磁感应实验现象

- 电磁感应：含有铁芯的线圈与未含铁芯的线圈产生的感应电流非常不同，意味著是 B 而非 H 的变化导致电流产生。
- 电磁感应现象--当回路磁通发生变化时在回路中产生感应电动势的现象，其电流叫感应电流。





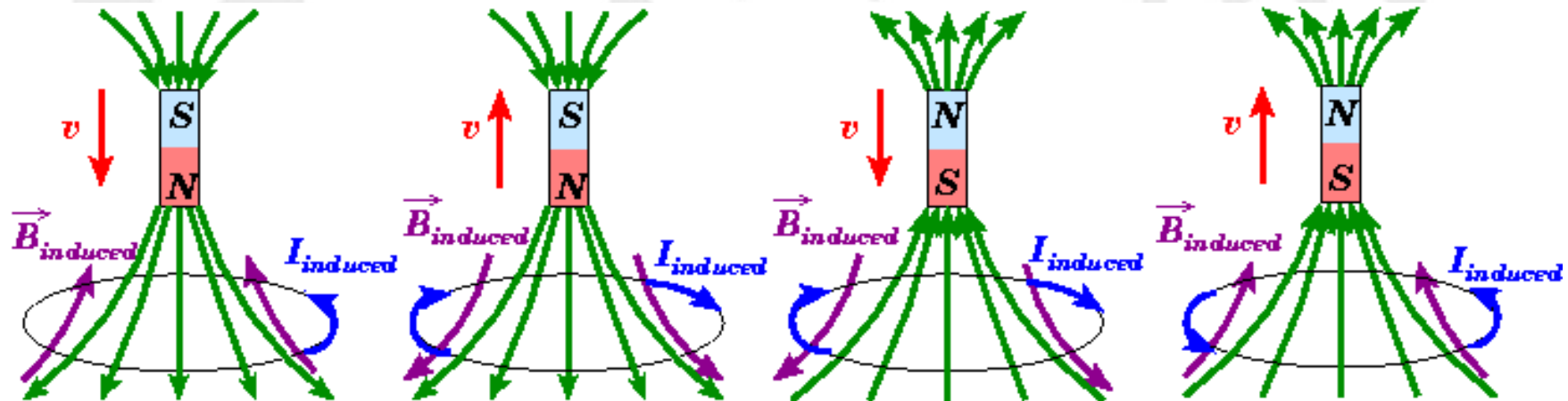
□ Some movies for demonstration

- Back emf in a Large Solenoid
- Galvanometer Principle
- Jacob's Ladder and the Melting Nail
- Lenz's Law
- Pendulum and Magnet



电磁学08-02: 楞次定律(Lenz's law)

- 当回路磁通变化时，感应电流所产生的感应磁通总是力图阻止原磁通的变化。(An induced current is always in such a direction as to oppose the motion or change causing it)
- 感应电流所起作用是对抗产生感应的那个因素，存在相互能量转换，与能量守恒定律一致。
- 楞次定律含有惯性的意象。

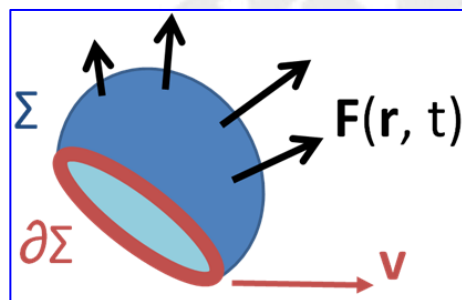




电磁学08-02: 法拉第电磁感应定律

- 当导体回路中磁通发生变化时，回路中的感应电动势与穿过此回路的磁通变化率成正比。
- 感应电动势

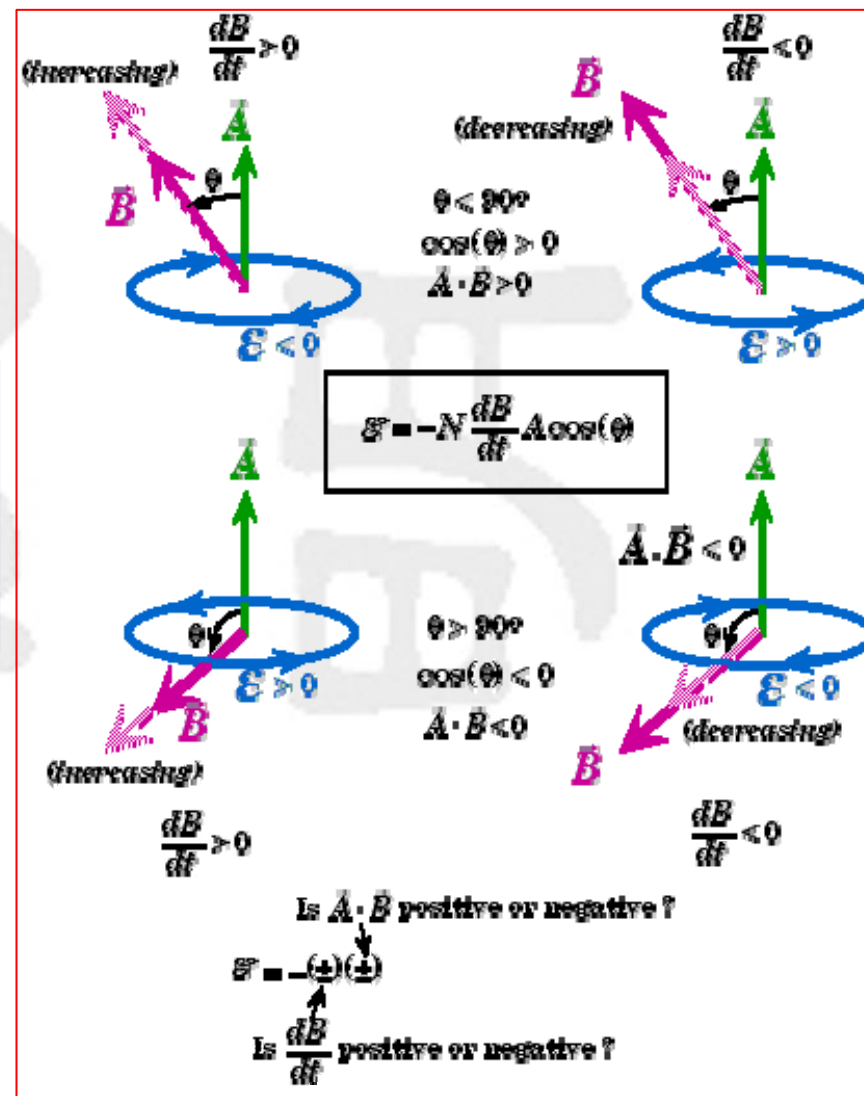
$$\Phi_B = \iint_{\Sigma(t)} \mathbf{B}(\mathbf{r}, t) \cdot d\mathbf{A}$$



Faraday's Law of Induction

$$\mathcal{E} = -\frac{d\Phi_B}{dt} \text{ (for one loop)}$$

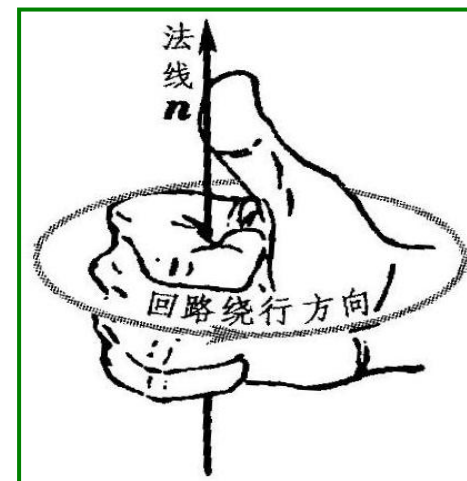
$$\mathcal{E} = -N\frac{d\Phi_B}{dt} \text{ (for multiple loops)}$$



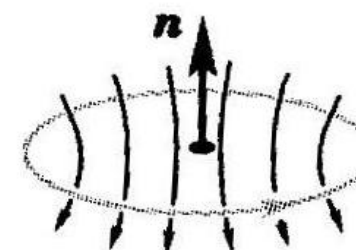
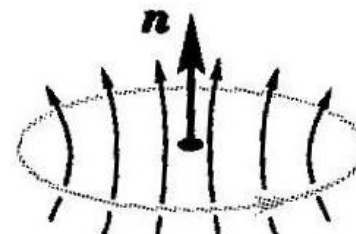
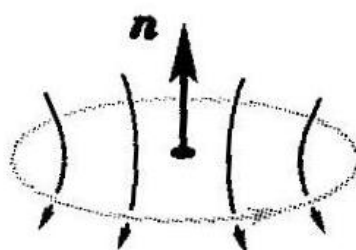
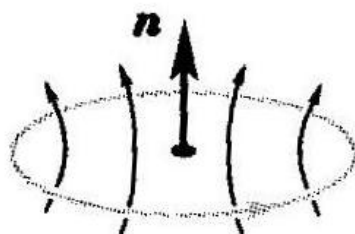


电磁学08-02: 法拉第电磁感应定律

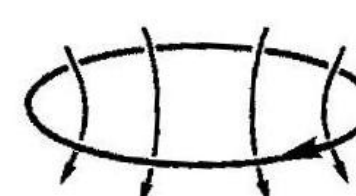
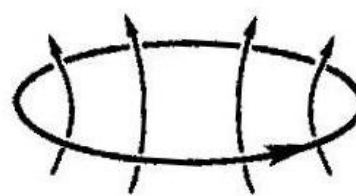
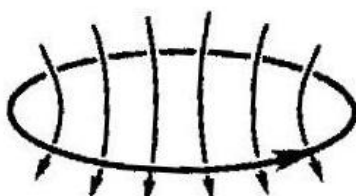
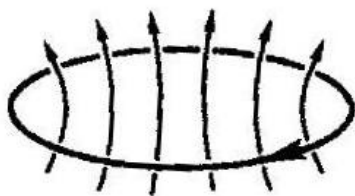
□ 感应电动势的方向问题：定义与变化



规定的
回路绕行方向



实际的
感应电动势方向



a $\Phi > 0, \Phi$ 增大

b $\Phi < 0, |\Phi|$ 增大

c $\Phi > 0, \Phi$ 减小

d $\Phi < 0, |\Phi|$ 减小



电磁学08-02: 法拉第电磁感应定律

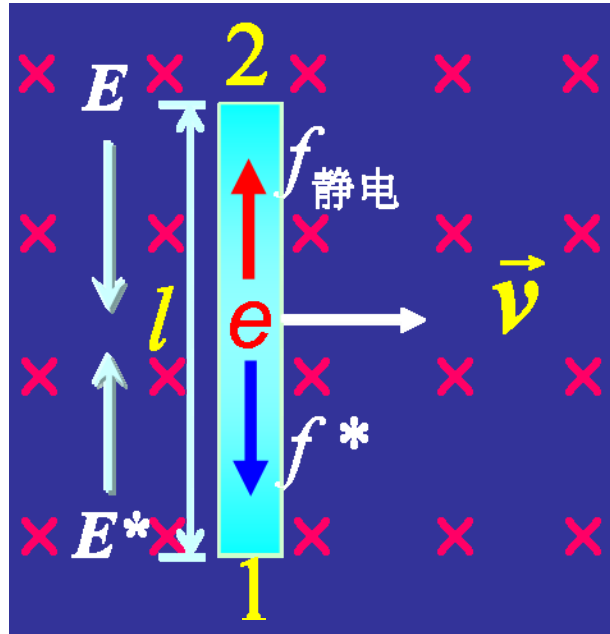
□ 磁通变化产生感应电动势的方法有两类:

- (1) 磁感应强度不变、磁感应线贯穿的曲面空间变化;
- (2) 磁感应线贯穿的曲面空间不变, 磁感应强度变化;
- 两类方法微观机制不同, 但殊途同归 \Rightarrow 电磁感应现象。



电磁学08-02: 法拉第电磁感应定律

□ (1) 磁感应强度不变、磁感应线贯穿的曲面空间变化



Lorentz force:

$$f^* = -e(\vec{v} \times \vec{B}) \Rightarrow \vec{E}^* = f^* / -e = \vec{v} \times \vec{B}$$

Static force:

$$\vec{f}_{\text{静电}} = \int_2^1 \vec{E} \cdot d\vec{e}$$

$$\vec{f}^* = -\vec{f}_{\text{静电}} \Rightarrow \vec{E} = -\vec{E}^*$$

$$\Sigma = \int_1^2 \vec{E}^* \cdot d\vec{l} = \int_1^2 (\vec{v} \times \vec{B}) \cdot d\vec{l}$$

感应电动势为非库仑力场 E^* (其大小和方向均等于单位正电荷所受的洛伦兹力)沿电路自低电势端到高电势端的线积分。



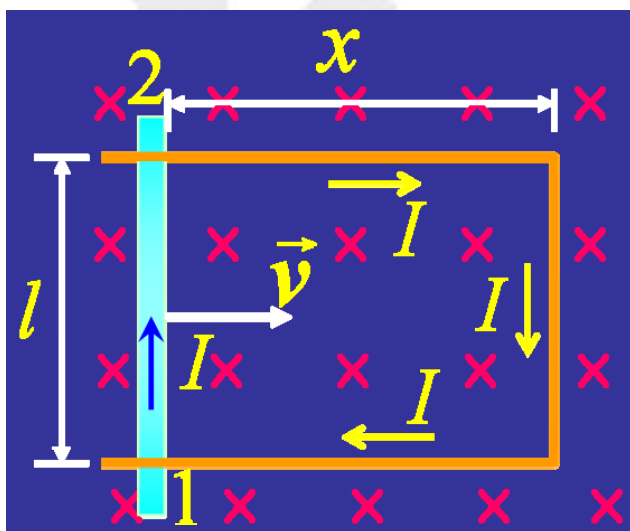
电磁学08-02: 法拉第电磁感应定律

□ 导体中真实的电场、电势是洛伦兹力驱动电荷运动建立起来的静电场、静电势， E^* 是虚拟等效电场。

□ 对于闭合回路：

$$\Sigma = \oint_L \vec{E}^* \cdot d\vec{l} = \oint_L (\vec{v} \times \vec{B}) \cdot d\vec{l}$$

□ 最简单的回路：两种方法

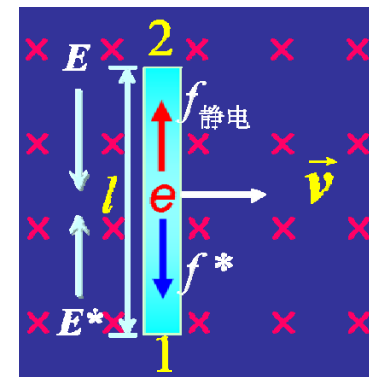


$$(1): \Sigma = \oint_L \vec{E}^* \cdot d\vec{l} = \oint_L (\vec{v} \times \vec{B}) \cdot d\vec{l} = vBl$$

$$(2): \Phi_B = Blx \Rightarrow$$

$$\Sigma = -\frac{d\Phi_B}{dt} = -\frac{dx}{dt} Bl = vBl$$

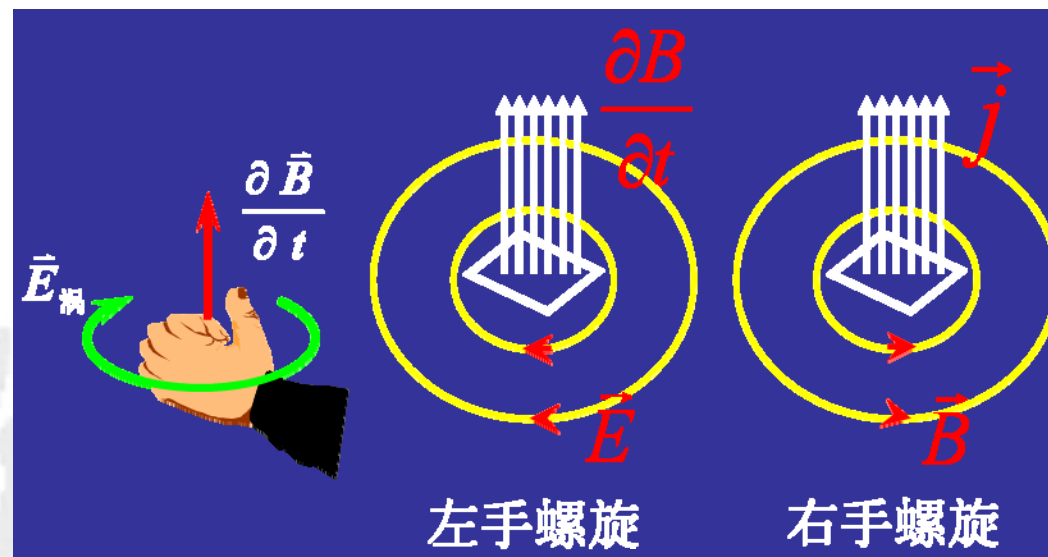
感应电动势
方向问题





电磁学08-02: 法拉第电磁感应定律

- (2) 磁感应线贯穿的曲面空间不变，磁感应强度变化：完全不同的物理机制。
- 与电流产生磁场类比。
- 磁感应强度随时间变化激发周围空间形成漩涡电场 $\vec{E}_{\text{感}}$



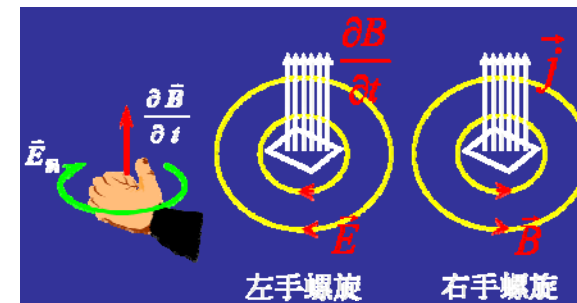
- 漩涡感应电动势：沿漩涡电场方向的“回路”线积分，这个回路可以是虚拟的，即空间存在电场、电势。

$$\Sigma = \oint_L \vec{E}_{\text{感}} \cdot d\vec{l} \leftarrow \text{左手螺旋法则}$$

$$\Sigma = -\frac{d\Phi_B}{dt} \Rightarrow \oint_L \vec{E}_{\text{感}} \cdot d\vec{l} = -\frac{d\Phi_B}{dt} = -\frac{d}{dt} \left(\iint_S \vec{B} \cdot d\vec{S} \right)$$



电磁学08-02: 法拉第电磁感应定律



- 随时间变化磁场激发的漩涡电场沿任意闭合曲线 L 的线积分等于通过曲线 L 所张曲面 S 的磁通量之时间变化率之负数。

$$\because \partial(S, L) / \partial t = 0, \quad \therefore \oint_L \vec{E}_{\text{感}} \cdot d\vec{l} = - \iint_S \left(\frac{\partial \vec{B}}{\partial t} \right) \cdot d\vec{S}$$

$$\Sigma = \int_1^2 \vec{E}_{\text{感}} \cdot d\vec{l}$$

- 微分形式与扩展形式:

$$\oint_L \vec{E}_{\text{感}} \cdot d\vec{l} = - \iint_S \left(\frac{\partial \vec{B}}{\partial t} \right) \cdot d\vec{S} \Rightarrow \text{rot} \vec{E}_{\text{感}} = - \frac{\partial \vec{B}}{\partial t}$$

$$\because \oint_L \vec{E}_{\text{静}} \cdot d\vec{l} = 0 \Rightarrow \text{rot} \vec{E}_{\text{静}} = 0$$

$$\oint_L \vec{E} \cdot d\vec{l} = \oint_L (\vec{E}_{\text{静}} + \vec{E}_{\text{感}}) \cdot d\vec{l} = - \iint_S \left(\frac{\partial \vec{B}}{\partial t} \right) \cdot d\vec{S} \Rightarrow \text{rot} \vec{E} = - \frac{\partial \vec{B}}{\partial t}$$

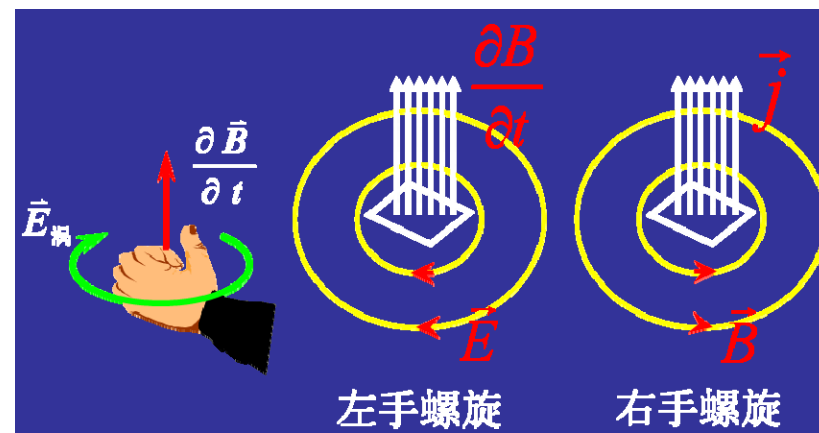
普遍情况下
电场为非保守
场，无电势



电磁学08-02: 法拉第电磁感应定律

□ 从磁矢势 \vec{A} 角度看:

➤ 构建一任意面元 S , 其边界为 L :



$$\begin{aligned}\Sigma &= -\frac{d\Phi_B}{dt} = -\frac{d}{dt} \iint_S \vec{B} \cdot d\vec{S} = -\frac{d}{dt} \oint_L \vec{A} \cdot d\vec{l} = -\oint_L \frac{\partial \vec{A}}{\partial t} \cdot d\vec{l} \\ \because \Sigma &= \oint_L \vec{E}_{\text{感}} \cdot d\vec{l} \Rightarrow \therefore \vec{E}_{\text{感}} = -\frac{\partial \vec{A}}{\partial t} \\ \vec{E} &= \vec{E}_{\text{静}} + \vec{E}_{\text{感}} = -\nabla U - \frac{\partial \vec{A}}{\partial t}\end{aligned}$$



□ 感应电动势与感应电场电势【例8.1.7】：

- 涡旋电场(感生电场)是非保守力场，不能引入电势和电势差；而静电场是库仑场，可以引入电势和电势差。
- 如果涡旋电场中有导体，其上两点电势差有意义----导体内与涡旋电场大小相等方向相反的静电场导致两点电势差。

$$\left\langle \begin{array}{l} \oint_L \vec{E}_{\text{库}} \cdot d\vec{l} = 0 \\ \nabla \times \vec{E}_{\text{库}} = 0 \end{array} \right| \begin{array}{l} \oint_L \vec{E}_{\text{感}} \cdot d\vec{l} = - \iint_S \frac{\partial \vec{B}}{\partial t} \cdot d\vec{S} \\ \nabla \times \vec{E}_{\text{感}} = - \frac{\partial \vec{B}}{\partial t} \end{array} \right\rangle$$

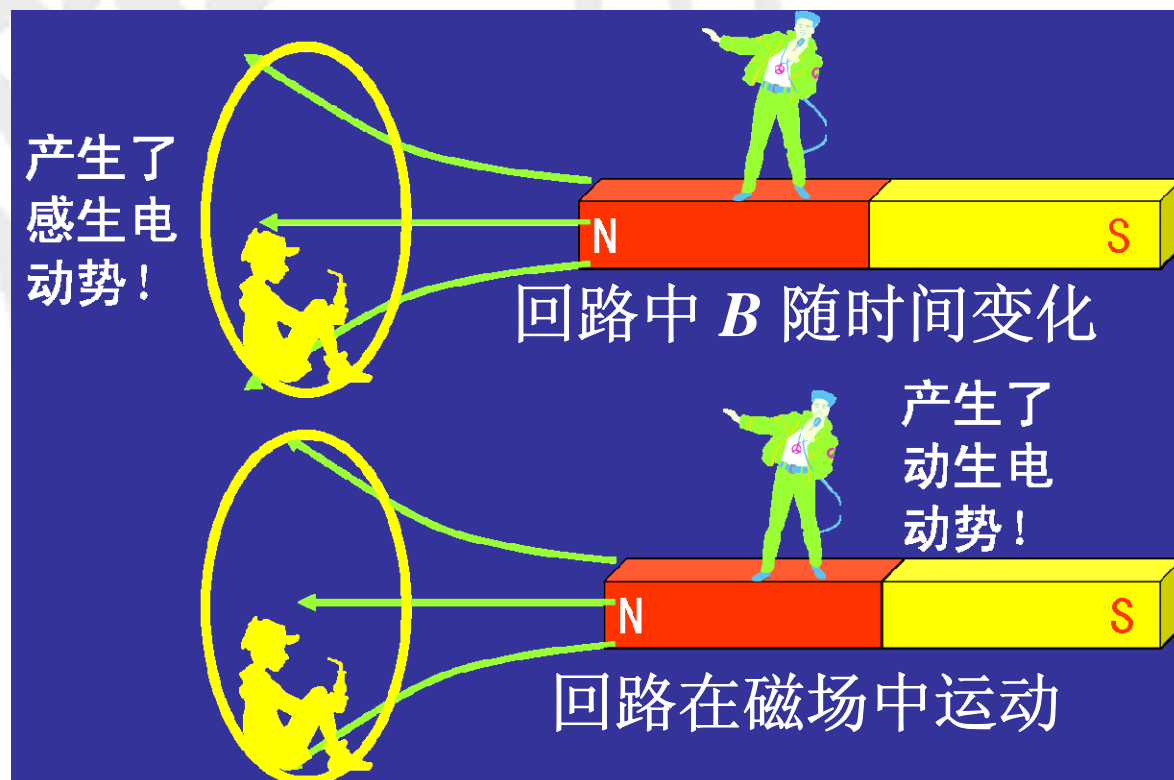


□ (3) 感应电动势一般形式:

$$\Sigma = -\frac{d\Phi_B}{dt} = -\frac{d}{dt} \iint_S \vec{B} \cdot d\vec{S} = -\iint_S \left(\frac{\partial \vec{B}}{\partial t} \right) \cdot d\vec{S} + \oint_L (\vec{v} \times \vec{B}) \cdot d\vec{l}$$

□ 如导线运动和磁场变化同时存在, 则感应定律中 Φ 的变化应理解为磁场变化和导线移动所引起的效应之叠加。

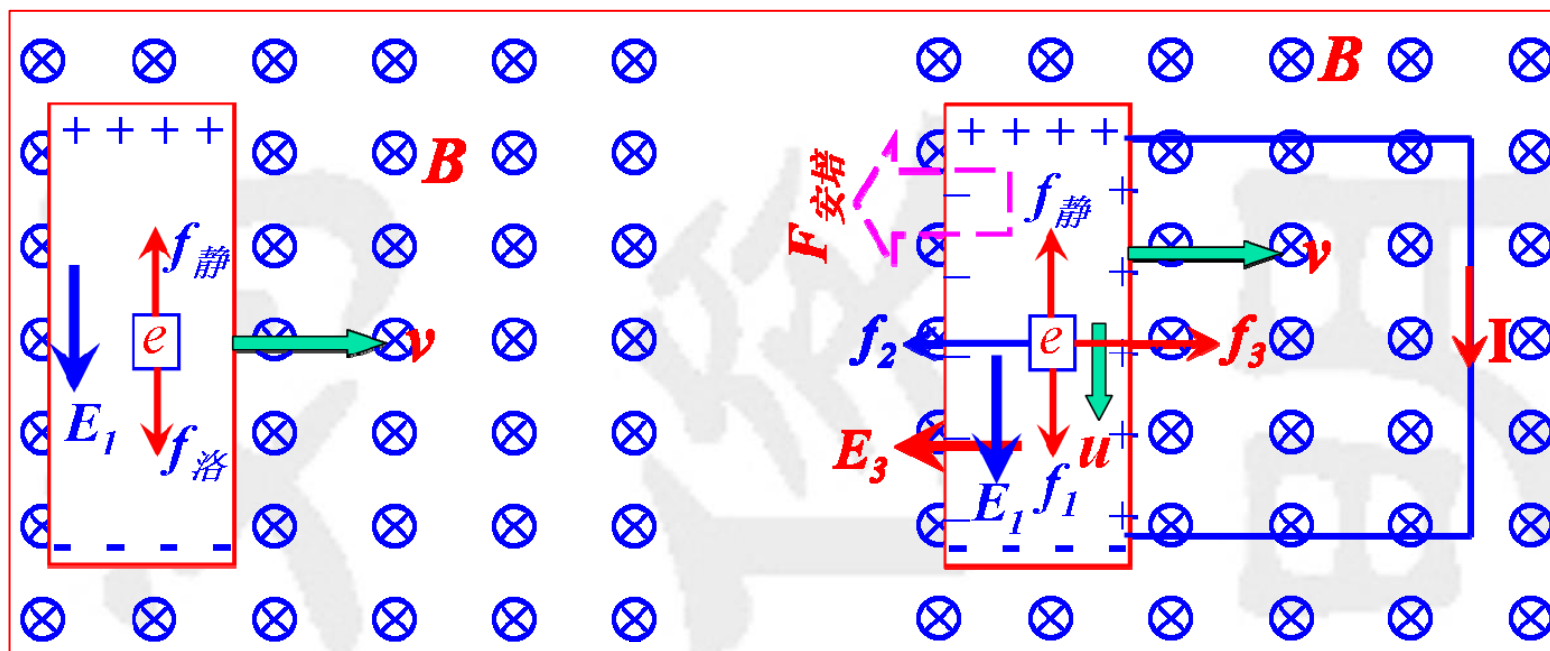
□ 将感应电动势看成 动 生电动势与 感 生电动势是相对不同参考系而言的。





电磁学08-02: 法拉第电磁感应定律

□ (4) 能量问题：洛伦兹力并不做功，功能关系？以导体运动为例



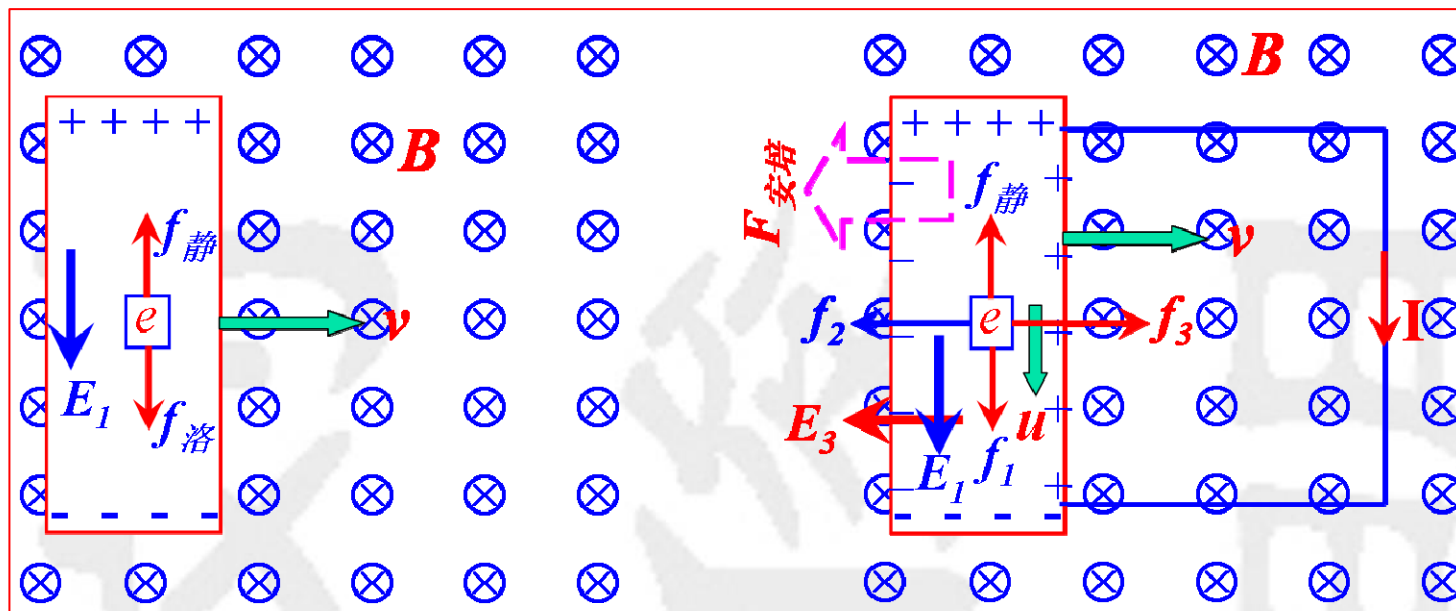
□ 左边：未形成回路，洛伦兹力 $f_{洛} \leftrightarrow$ 静电力 $f_{静}$ (静电场 E_1)

□ 最初心一瞬间有功能转换，达到稳态后 $f_{洛}$ 不做功



电磁学08-02: 法拉第电磁感应定律

- 右侧：形成回路，有焦耳热释放，因此有功能转换



- 导体运动 (v) 导致的洛伦兹力 $f_1 \Leftrightarrow$ 静电力 $f_{\text{静}}$ (电场 E_1)
- 电流流动 (u) 导致的洛伦兹力 $f_2 \Leftrightarrow$ 静电力 f_3 (电场 E_3)
- 电流流动将 f_3 通过电荷-晶格作用传递给导体，形成导体整体的安培力 $F_{\text{安培}}$ ，否则电子会跑出导体了。^_^



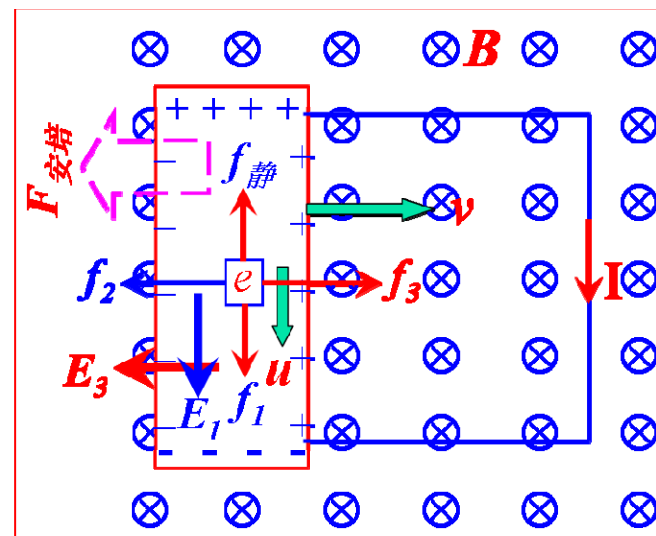
电磁学08-02: 法拉第电磁感应定律

□ 受力的数学关系:

$$\vec{f} = \vec{f}_1 + \vec{f}_2 = -e\vec{v} \times \vec{B} - e\vec{u} \times \vec{B}$$

$$= -e(\vec{v} + \vec{u}) \times \vec{B}$$

$$\left. \begin{array}{l} \vec{f}_1 = -e\vec{v} \times \vec{B} \\ \vec{f}_2 = -e\vec{u} \times \vec{B} \end{array} \right\} \Rightarrow \left\{ \begin{array}{l} \vec{f}_{\text{静}} = -\vec{f}_1 \\ \vec{f}_3 = -\vec{f}_2 \end{array} \right\} \Rightarrow \sum_{\text{导体}} \vec{f}_2 = F_{\text{安培}}$$



□ 功/能的数学关系:

$$\because I = \Sigma / R = vBl / R, u = \frac{j}{ne} = \frac{I}{neS} = \frac{vBl}{neSR}$$

$$\therefore \left\{ \begin{array}{l} \vec{f}_1 \Rightarrow p_1 = (evB)u \Rightarrow P_1 = \sum_{nSl} p_1 = \frac{v^2 B^2 l^2}{R} \\ \vec{f}_2 \Rightarrow p_2 = -(euB)v \Rightarrow P_2 = \sum_{nSl} p_2 = -\frac{v^2 B^2 l^2}{R} \end{array} \right\} \Rightarrow P_1 + P_2 = 0$$

两个洛伦兹力
做功之和为零

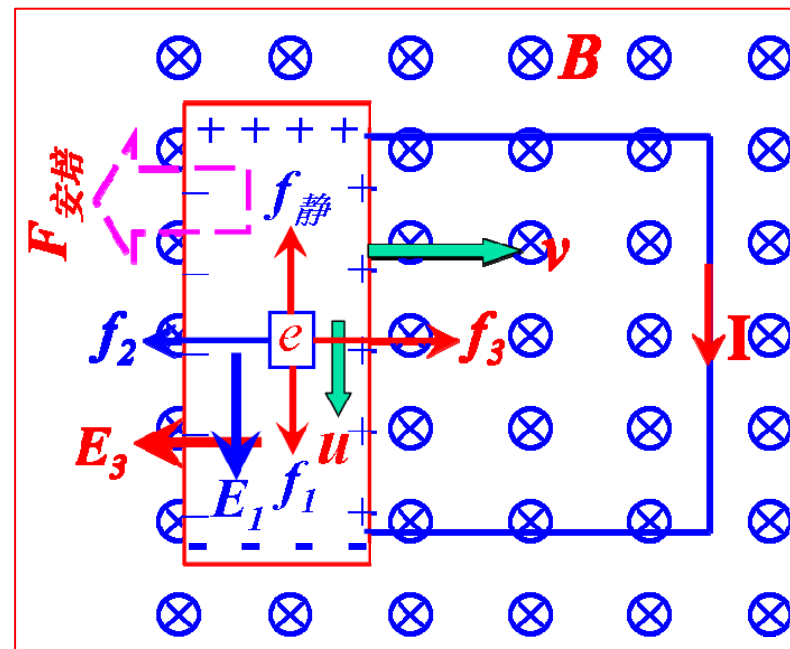


电磁学08-02: 法拉第电磁感应定律

□ 考虑与 f_2 对应的静电力 f_3 做功问题:

$$\vec{f}_3 \Rightarrow p_3 = -p_2 \Rightarrow P_3 = \sum_{nSl} p_3 = \frac{v^2 B^2 l^2}{R}$$

$$\sum_{nSl} \vec{f}_3 \Rightarrow \vec{F}_{ampere} \Rightarrow P_{ampere} = P_3 = \frac{v^2 B^2 l^2}{R}$$

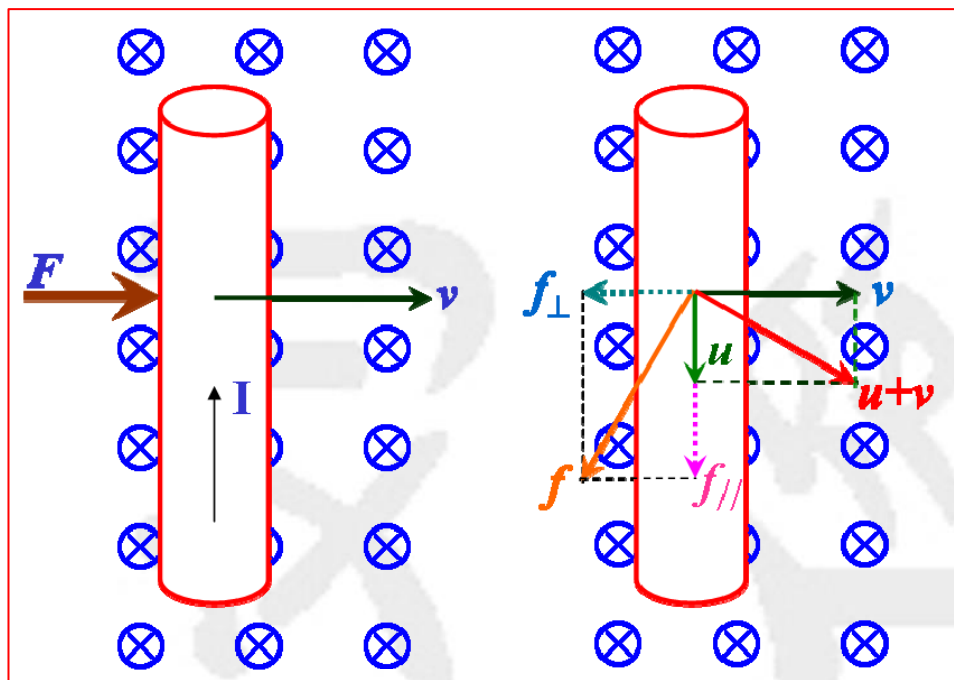


□ 外力必须克服 $F_{安培}$ ，对系统做功，再通过功能关系转化焦耳热:

$$P_3 = \frac{v^2 B^2 l^2}{R} \Rightarrow P = I^2 R = \left(\frac{vBl}{R}\right)^2 R = \frac{v^2 B^2 l^2}{R} \Rightarrow P = P_3$$



□ (5) 做功问题的另外一种简化解释 【例8.1.9】：



$f_{//}$ 对感应电流自由电子做正功

f_{\perp} 对它们做负功

总功为零

在实验室静止坐标系：

$$\vec{f}_{Lorentz} = -e(\vec{u} + \vec{v}) \times \vec{B}$$

$$\because \vec{f}_{Lorentz} \perp (\vec{u} + \vec{v})$$

$$\therefore dW = \vec{f}_{Lorentz} \cdot d\vec{l}_{(\vec{u} + \vec{v})} = 0$$

$$\because \vec{f}_{Lorentz} = \vec{f}_{//} + \vec{f}_{\perp}$$

$$\therefore \begin{cases} \vec{f}_{//} \cdot (\vec{u} + \vec{v}) = \vec{f}_{//} \cdot \vec{u} > 0 \\ \vec{f}_{\perp} \cdot (\vec{u} + \vec{v}) = \vec{f}_{\perp} \cdot \vec{v} < 0 \end{cases}$$

$$\vec{f}_{\perp} \cdot (\vec{u} + \vec{v}) = \vec{f}_{\perp} \cdot \vec{v} < 0$$



电磁学08-02: 法拉第电磁感应定律

□ 总结:

	动生电动势 $\varepsilon_i = \int (\vec{v} \times \vec{B}) \cdot d\vec{l}$	感生电动势 $\varepsilon_i = \oint \vec{E}_{\text{涡}} \cdot d\vec{l} = - \int_S \frac{\partial \vec{B}}{\partial t} \cdot d\vec{S}$
特点	磁场不变, 闭合电路的整体或局部在磁场中运动导致回路中磁通量的变化	闭合回路的任何部分都不动, 空间磁场发生变化导致回路中磁通量变化
原因	由于 S 的变化引起回路中 Φ_B 变化	由于 B 的变化引起回路中 Φ_B 变化
非库仑力来源	洛伦兹力	感生电场力(磁矢势 \mathbf{A})



□ 总结:

静电场(库仑场)	感生电场(旋涡电场)
具有电能、对电荷有作用力	具有电能、对电荷有作用力
由静止电荷产生	由变化磁场产生
$E_{\text{静}}$ 线是“有头有尾”的，起于正电荷而终于负电荷	$E_{\text{感}}$ 线是“无头无尾”的，是一组闭合曲线
$\oint_S \vec{E}_{\text{库}} \cdot d\vec{S} = \frac{1}{\epsilon_0} \sum q_i$	$\oint_S \vec{E}_{\text{涡}} \cdot d\vec{S} = 0$
$\oint_L \vec{E}_{\text{库}} \cdot d\vec{l} = 0$	$\oint_L \vec{E}_{\text{涡}} \cdot d\vec{l} = - \iint_S \frac{\partial \vec{B}}{\partial t} \cdot d\vec{S}$

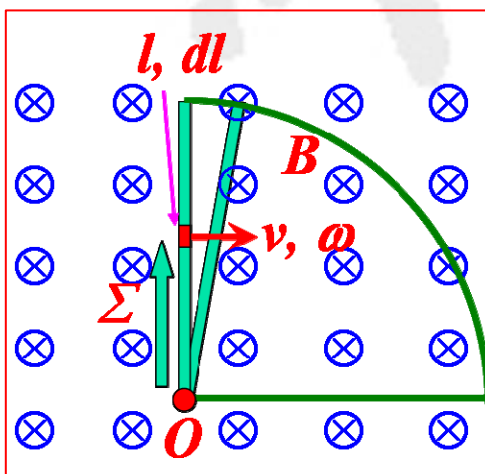
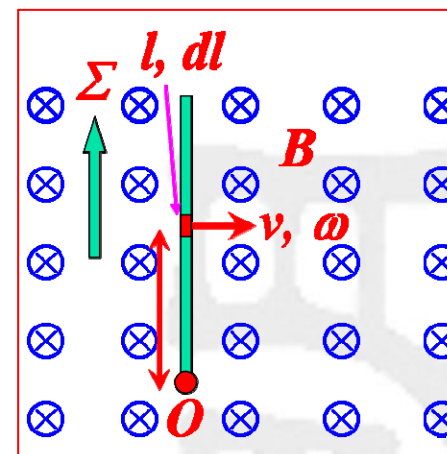


电磁学08-03: 法拉第定律的应用

- 【例2 p.312】 长度为 L 的金属棒围绕一端以角速度 ω 在与
其垂直的均匀磁场 B 中转动，求其感应电动势。

$$d\Sigma = (\vec{v} \times \vec{B}) \cdot d\vec{l} = l\omega B dl$$

$$\Sigma = \int_0^L d\Sigma = \int_0^L l\omega B dl = \frac{1}{2} B\omega L^2$$



$$d\Phi = -B \frac{1}{2} L^2 d\theta \Rightarrow$$

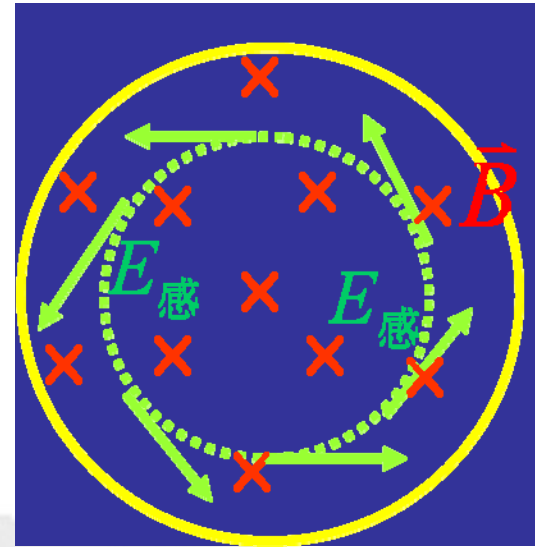
$$\Sigma = -\frac{d\Phi}{dt} = B \frac{1}{2} L^2 \frac{d\theta}{dt} = \frac{1}{2} B\omega L^2$$

方向的判断----
是个绕弯弯的
活!



- 【例3 p.313】 均匀磁场 B 以速率 dB/dt 增加，求空间漩涡电场。

根据左手螺旋法则，知漩涡电场如图取向。根据法拉第定律也可以判断这一点。



$$\Phi = B(\pi r^2) \quad \text{at } r \leq R$$

$$\oint \vec{E}_{\text{感}} \cdot d\vec{l} = -\frac{d\Phi}{dt} = -\pi r^2 \frac{d\vec{B}}{dt}$$

$$2\pi r \vec{E}_{\text{感}} = -\pi r^2 \frac{d\vec{B}}{dt} \Rightarrow E_{\text{感}} = -\frac{1}{2} r \frac{dB}{dt}$$

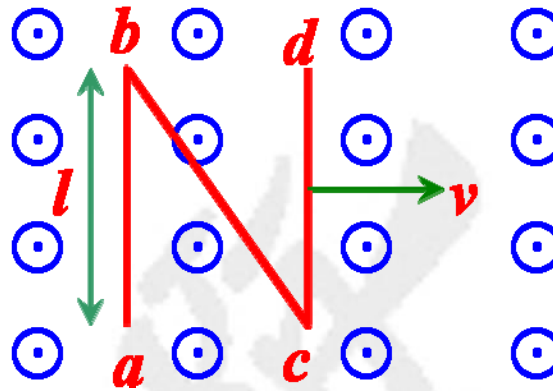
$$\Phi = B(\pi R^2) \quad \text{at } r > R$$

$$E_{\text{感}}(2\pi r) = -\frac{d\Phi}{dt} = -(\pi R^2) \frac{d\vec{B}}{dt} = -\frac{1}{2} \frac{R^2}{r} \frac{d\vec{B}}{dt}$$



电磁学08-03: 法拉第定律的应用

□ 【例8.1.26】求端 a 与端 d 的电势差 U_{ad}

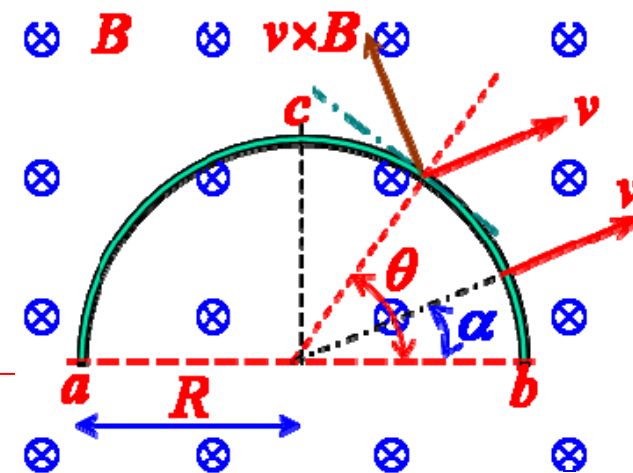


$$\begin{aligned} U_{ad} &= U_a - U_d = \int_a^d \vec{E}_s \cdot d\vec{l} = \int_a^d (-\vec{v} \times \vec{B}) \cdot d\vec{l} \\ &= -\int_a^b (\vec{v} \times \vec{B}) \cdot d\vec{l} - \int_b^c (\vec{v} \times \vec{B}) \cdot d\vec{l} - \int_c^d (\vec{v} \times \vec{B}) \cdot d\vec{l} \\ &\because \int_a^b (\vec{v} \times \vec{B}) \cdot d\vec{l} + \int_b^c (\vec{v} \times \vec{B}) \cdot d\vec{l} = vBl - vBl = 0 \\ &\therefore U_{ad} = -\int_c^d (\vec{v} \times \vec{B}) \cdot d\vec{l} = vBl \end{aligned}$$

电动势与电势
差是相反的！



□ 【例8.1.30】 求导线感应电动势、 ab 端电势差, cb 端电势差, ac 端电势差



电子电荷为负, 受力与 $\vec{v} \times \vec{B}$ 方向相反

$$\Sigma = \int_b^a \vec{E}_i \cdot d\vec{l} = \int_b^a (\vec{v} \times \vec{B}) \cdot d\vec{l}$$

$$\because (\vec{v} \times \vec{B}) \cdot d\vec{l} = vB(Rd\theta)\cos(\theta - \alpha)$$

$$\therefore \Sigma = \int_b^a (\vec{v} \times \vec{B}) \cdot d\vec{l} = vBR \int_0^\pi \cos(\theta - \alpha) d\theta = vBR \sin(\theta - \alpha) \Big|_0^\pi = 2vBR \sin \alpha$$

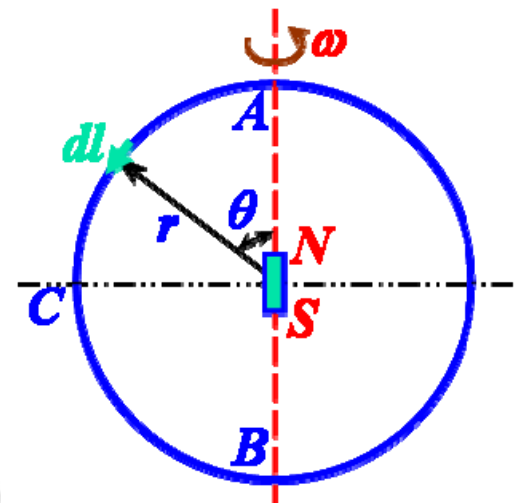
$$U_{ab} = U_a - U_b = \int_a^b \vec{E}_s \cdot d\vec{l} = \int_a^b (-\vec{E}_i) \cdot d\vec{l} = \int_b^a \vec{E}_i \cdot d\vec{l} = \Sigma = 2vBR \sin \alpha$$

$$\begin{aligned} U_{cb} &= \int_c^b \vec{E}_s \cdot d\vec{l} = \int_c^b (-\vec{E}_i) \cdot d\vec{l} = \int_b^c \vec{E}_i \cdot d\vec{l} = vBR \int_0^{\pi/2} \cos(\theta - \alpha) d\theta \\ &= vBR \sin(\theta - \alpha) \Big|_0^{\pi/2} = vBR(\cos \alpha + \sin \alpha) \end{aligned}$$

$$U_{ac} = U_a - U_c = \int_a^c \vec{E}_s \cdot d\vec{l} = \int_a^c (-\vec{E}_i) \cdot d\vec{l} = vBR(\sin \alpha - \cos \alpha) \Rightarrow 0 \Big|_{\alpha=\pi/4}$$



- 【例8.1.47】金属丝圆环转动，小磁矩 m 与转动角速度 ω 同向，求 AC 间感应电动势和 AB 间电势差



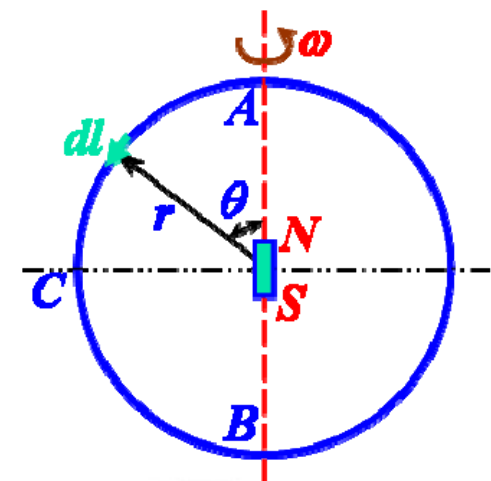
$$\begin{aligned}
 \Sigma_{AC} &= \int_A^C \vec{E}_i \cdot d\vec{l} = \int_A^C (\vec{v} \times \vec{B}) \cdot d\vec{l} = \int_A^C [(\vec{\omega} \times \vec{r}) \times \vec{B}] \cdot d\vec{l} \\
 &= \int_A^C [(\vec{\omega} \cdot \vec{B}) \vec{r} - (\vec{r} \cdot \vec{B}) \vec{\omega}] \cdot d\vec{l} \xrightarrow{\because \vec{r} \cdot d\vec{l} = 0} - \int_A^C (\vec{r} \cdot \vec{B}) \vec{\omega} \cdot d\vec{l} \\
 &= - \int_A^C (\vec{r} \cdot \vec{B}) \cos\left(\frac{\pi}{2} + \theta\right) \omega dl = \omega r \int_A^C (\vec{r} \cdot \vec{B}) \sin \theta d\theta \\
 \because \vec{B} &= \frac{\mu_0}{4\pi r^3} \left[\frac{3(\vec{m} \cdot \vec{r})}{r^2} \vec{r} - \vec{m} \right] \Rightarrow \vec{r} \cdot \vec{B} = \frac{\mu_0}{4\pi r^3} [3(\vec{m} \cdot \vec{r}) - \vec{r} \cdot \vec{m}] \\
 &= \frac{\mu_0}{2\pi r^3} \vec{m} \cdot \vec{r} = \frac{\mu_0 m}{2\pi r^2} \cos \theta
 \end{aligned}$$



电磁学08-03: 法拉第定律的应用

□ 继续

$$\begin{aligned}\therefore \Sigma_{AC} &= \omega r \int_A^C \frac{\mu_0 m}{2\pi r^2} \cos \theta \sin \theta d\theta \\ &= \frac{\mu_0 m \omega}{4\pi r} \left[\sin^2 \theta \right]_0^{\pi/2} = \frac{\mu_0 m \omega}{4\pi r}\end{aligned}$$



$$U_{AC} = U_A - U_C = -\Sigma_{AC} = -\frac{\mu_0 m \omega}{4\pi r}$$

$$\begin{aligned}U_{AB} &= U_A - U_B = \int_A^B \vec{E}_s \cdot d\vec{l} = \int_A^B (-\vec{E}_i) \cdot d\vec{l} = \int_B^A \vec{E}_i \cdot d\vec{l} = \int_B^A (\vec{v} \times \vec{B}) \cdot d\vec{l} \\ &= \omega r \int_B^A \frac{\mu_0 m}{2\pi r^2} \cos \theta \sin \theta d\theta = \frac{\mu_0 m \omega}{4\pi r} \left[\sin^2 \theta \right]_{\pi}^0 = 0\end{aligned}$$

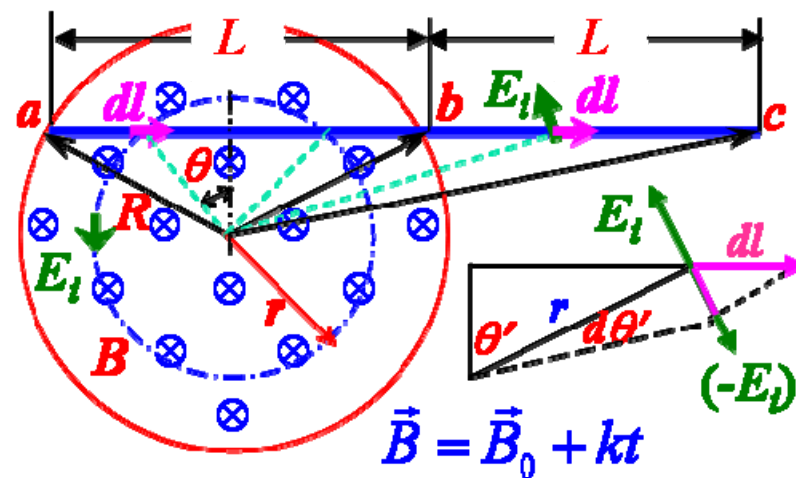
$$U_{CB} = U_C - U_B = U_C - U_A + U_A - U_B = -U_{AC} + U_{AB} = \frac{\mu_0 m \omega}{4\pi r}$$



电磁学08-03: 法拉第定律的应用

□ 【例8.1.63】导体棒 abc , 磁场 $B(t)$ 只在半径为 R 的圆环区域内存在, 求导体 abc 的电势差 U_{ac}

□ 涡旋电场为 \vec{E}_i , 方向如图



$$\oint \vec{E}_i \cdot d\vec{l} = E_i \cdot 2\pi r = -\frac{d\Phi}{dt} = \begin{cases} -\pi r^2 \frac{dB}{dt} = -\pi r^2 k, & r < R \\ -\pi R^2 \frac{dB}{dt} = -\pi R^2 k, & r > R \end{cases}$$

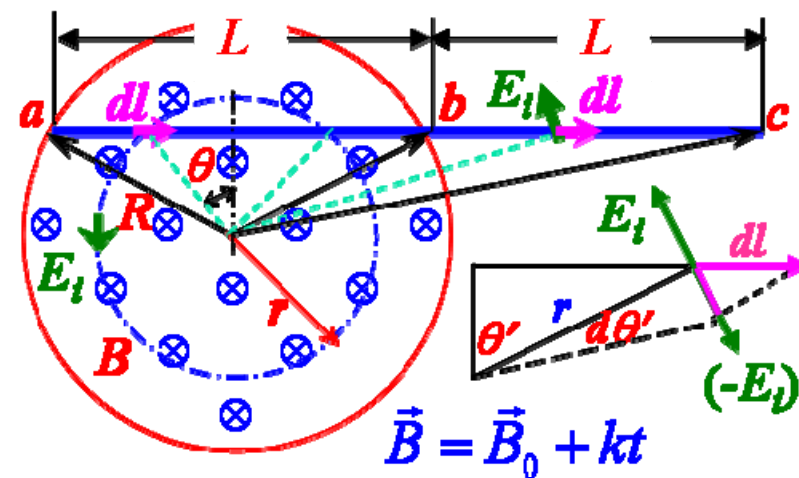
$$E_i = \begin{cases} -\frac{1}{2}kr, & r < R \\ -\frac{kR^2}{2r}, & r > R \end{cases}$$

$$U_{ac} = U_a - U_c = \int_a^c \vec{E}_s \cdot d\vec{l} = \int_a^c (-\vec{E}_i) \cdot d\vec{l} = \int_a^b (-\vec{E}_i) \cdot d\vec{l} + \int_b^c (-\vec{E}_i) \cdot d\vec{l}$$



电磁学08-03: 法拉第定律的应用

 继续



$$\int_a^b (-\vec{E}_i) \cdot d\vec{l} \xrightarrow[\text{The angle between } d\vec{l} \text{ and } (-\vec{E}_i) \text{ is } \theta]{}$$

$$\int_a^b (-E_i) \cos \theta dl = \int_a^b \frac{1}{2} kr \cos \theta dl \xrightarrow[\cos \alpha = \sqrt{R^2 - (L/2)^2} / R]{r \cos \theta = R \cos \alpha}$$

$$= \int_a^b \frac{1}{2} k \sqrt{R^2 - (L/2)^2} dl = \frac{1}{2} k \sqrt{R^2 - (L/2)^2} \int_0^L dl = \frac{1}{2} k L \sqrt{R^2 - (L/2)^2}$$

$$\int_b^c (-\vec{E}_i) \cdot d\vec{l} \xrightarrow[\text{The angle between } d\vec{l} \text{ and } (-\vec{E}_i) \text{ is } \theta']{} \quad \rightarrow$$

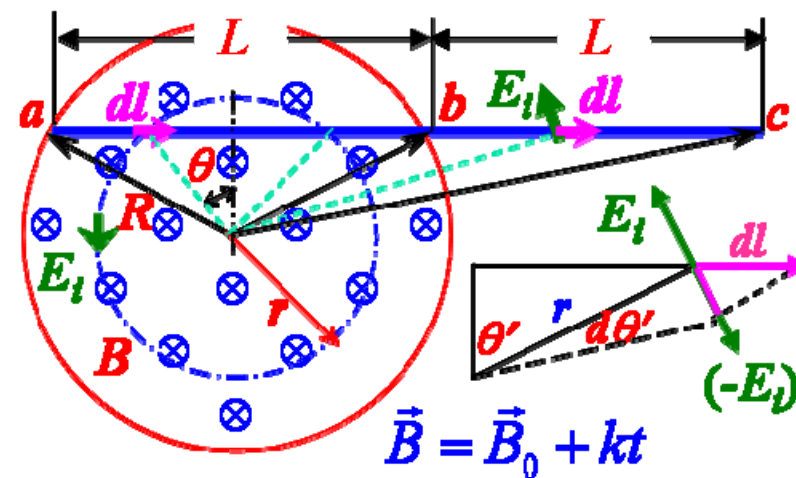
$$\int_b^c (-E_i) \cos \theta' dl = \int_b^c \frac{kR^2}{2r} \cos \theta' dl = \frac{kR^2}{2} \int_b^c \frac{\cos \theta'}{r} dl \xrightarrow{dl \cos \theta' = r d\theta'} \rightarrow$$

$$= \frac{kR^2}{2} \int_b^c d\theta' = \frac{kR^2}{2} \theta' \Big|_{\arcsin(\frac{L/2}{R})}^{\arcsin(\frac{3L/2}{\sqrt{2L^2+R^2}})} = \frac{kR^2}{2} \left(\arcsin\left(\frac{3L/2}{\sqrt{2L^2+R^2}}\right) - \arcsin\left(\frac{L}{2R}\right) \right)$$



电磁学08-03: 法拉第定律的应用

□ 继续



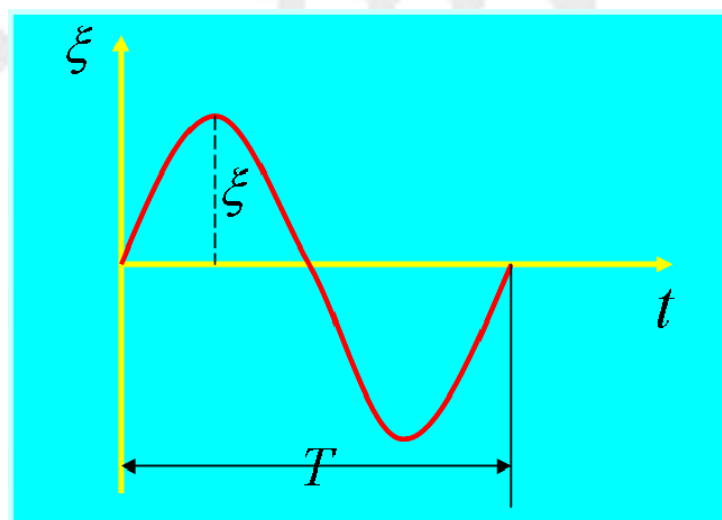
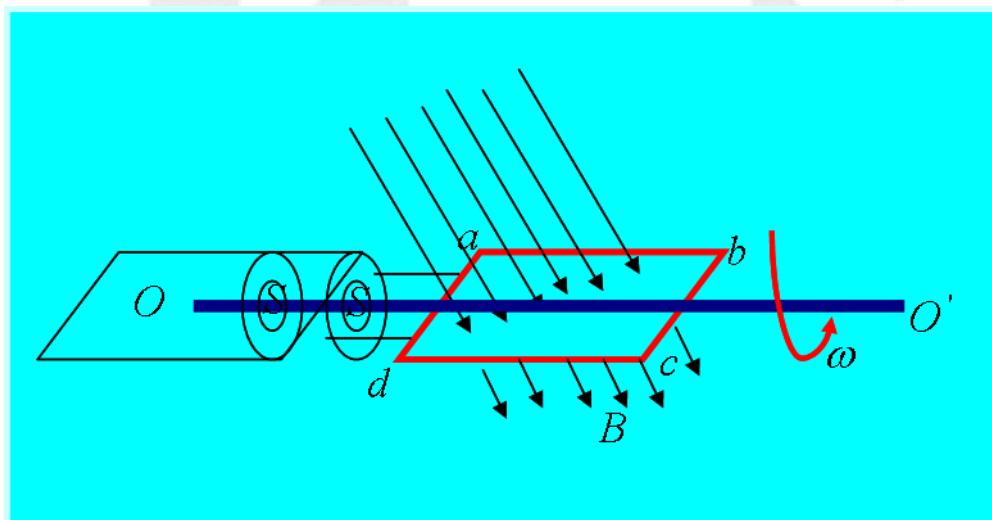
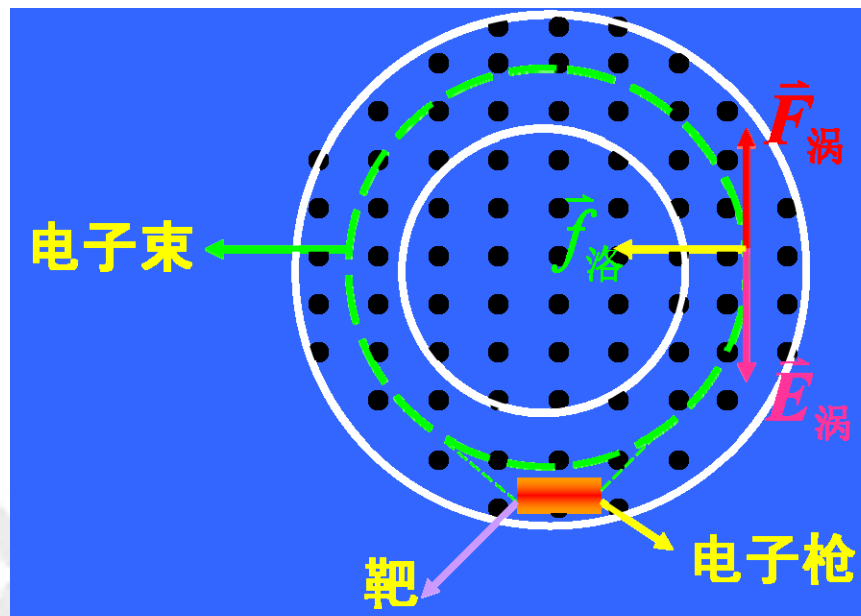
$$\begin{aligned}
 U_{ac} &= U_a - U_c \\
 &= \frac{1}{2} kL \sqrt{R^2 - (L/2)^2} + \frac{kR^2}{2} \left(\arcsin\left(\frac{3L/2}{\sqrt{2L^2 + R^2}}\right) - \arcsin\left(\frac{L}{2R}\right) \right) \\
 &= \frac{3\sqrt{3} + \pi}{12} kR^2 \Big|_{L=R}
 \end{aligned}$$



电磁学08-03: 法拉第定律的应用

□ 电子感应加速器

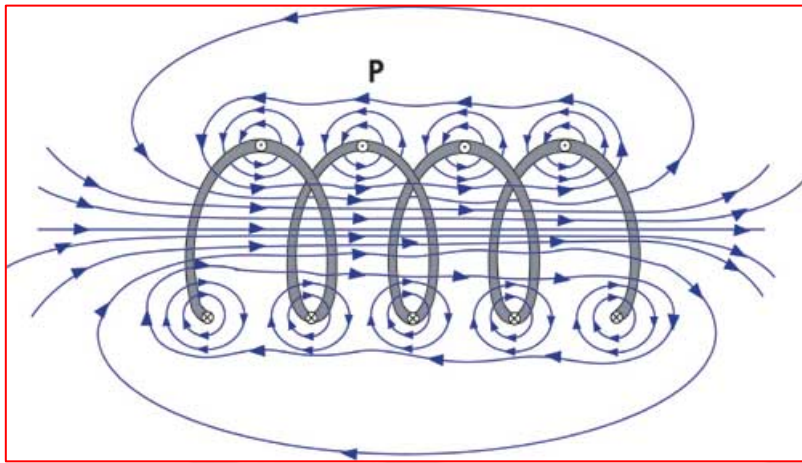
□ 发电机



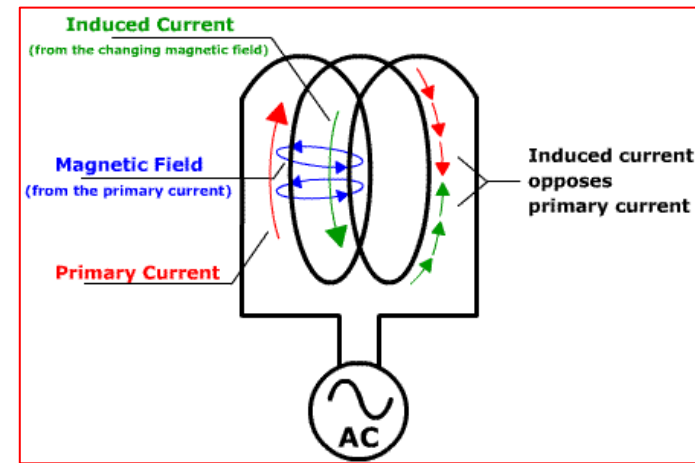


电磁学08-04: 自感与互感问题

- 自感现象：由于回路自身电流、回路形状、或回路周围磁介质发生变化时，穿过该回路自身的磁通量随之改变，从而在回路中激发感应电动势。



这种自感现象会不会一级一级无穷无尽？！



$$\because d\vec{B} = \frac{\mu_0}{4\pi} \frac{Id\vec{l} \times \vec{r}}{r^3}, \quad \therefore \vec{B} \propto I \Rightarrow \Phi_B = \iint_S \vec{B} \cdot d\vec{S} \propto I = L \cdot I$$
$$\Sigma = -\frac{d\Phi}{dt} = -\frac{d}{dt}(L \cdot I) = -\left(L \frac{dI}{dt} + I \frac{dL}{dt} \right) \xrightarrow{\text{if } L=\text{const}} -L \frac{dI}{dt}$$



电磁学08-04: 自感与互感问题

- 方向问题：回路电流参考方向与回路所张平面法线满足右手螺旋法则，此时自感系数 L 恒为正；
- 量纲问题：单位--亨利(H)= $[\Phi]/[I]=V \cdot s/A$

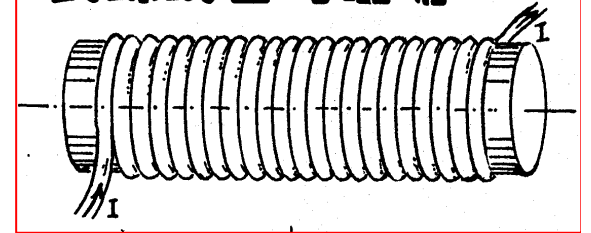


自感电动势将反抗回路中电流的改变

- 真空中的电势，自感系数的量值仅决定于回路的几何形状。
- 若存在磁介质，则自感系数决定于回路的几何形状、周围介质的性质及所通电流。



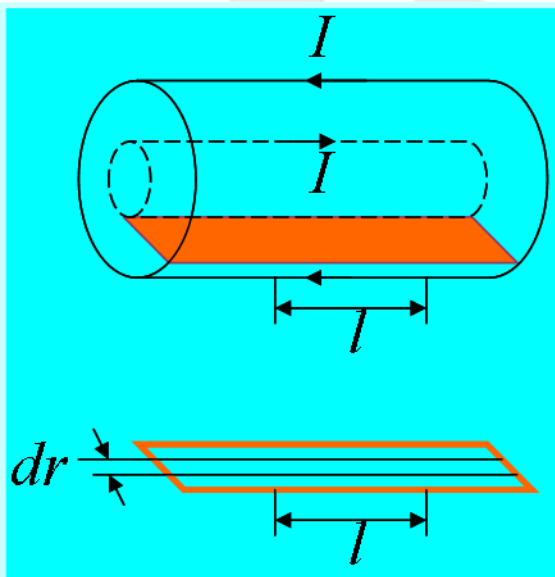
长螺线管的磁场



□ 【例1 p.320】 计算螺绕环的自感系数

$$\left. \begin{aligned} B &= \frac{N}{l} \mu_0 \mu_r I \\ \Psi &= N \Phi_B = \frac{\mu_0 \mu_r N^2 S I}{l} \end{aligned} \right\} \Rightarrow L = \frac{\Psi}{I} = \frac{\mu_0 \mu_r N^2 S}{l} = \frac{\mu_0 \mu_r N^2 (Sl)}{l^2} = \mu_0 \mu_r n^2 V$$

□ 【例2 p.321】 同轴电缆单位长度自感系数，内部填充了磁介质。



$$\begin{aligned} B &= \frac{\mu_0 \mu_r I}{2\pi r}, \quad d\Phi = B dS = B(l dr) = \frac{\mu_0 \mu_r I l}{2\pi} \frac{dr}{r} \\ \Phi &= \int d\Phi = \int_{R_1}^{R_2} \frac{\mu_r \mu_0 I l}{2\pi} \frac{dr}{r} = \frac{\mu_r \mu_0 I l}{2\pi} \ln \frac{R_2}{R_1} \\ \because \Phi &= LI, \quad \therefore L = \frac{1}{l} \frac{\Phi}{I} = \frac{\mu_r \mu_0}{2\pi} \ln \frac{R_2}{R_1} \end{aligned}$$



□ 相位问题:

$$\cos \theta = \sin\left(\frac{\pi}{2} - \theta\right), \quad \sin \theta = \cos\left(\frac{\pi}{2} - \theta\right), \quad \frac{d \sin \theta}{d \theta} = \cos \theta, \quad \frac{d \cos \theta}{d \theta} = -\sin \theta$$

$$U \Rightarrow U(t) \Rightarrow Q(t) = CU(t) \Rightarrow i = \frac{dQ}{dt}$$

\Rightarrow phase difference $\frac{\pi}{2} \Rightarrow RC$ circuit relaxation

$$I \Rightarrow I(t) \Rightarrow B(t) \Rightarrow \Phi(t) = SB(t) \Rightarrow \Sigma = -\frac{d\Phi}{dt} = -L \frac{dI}{dt}$$

\Rightarrow phase difference $\frac{\pi}{2} \Rightarrow RL$ circuit relaxation

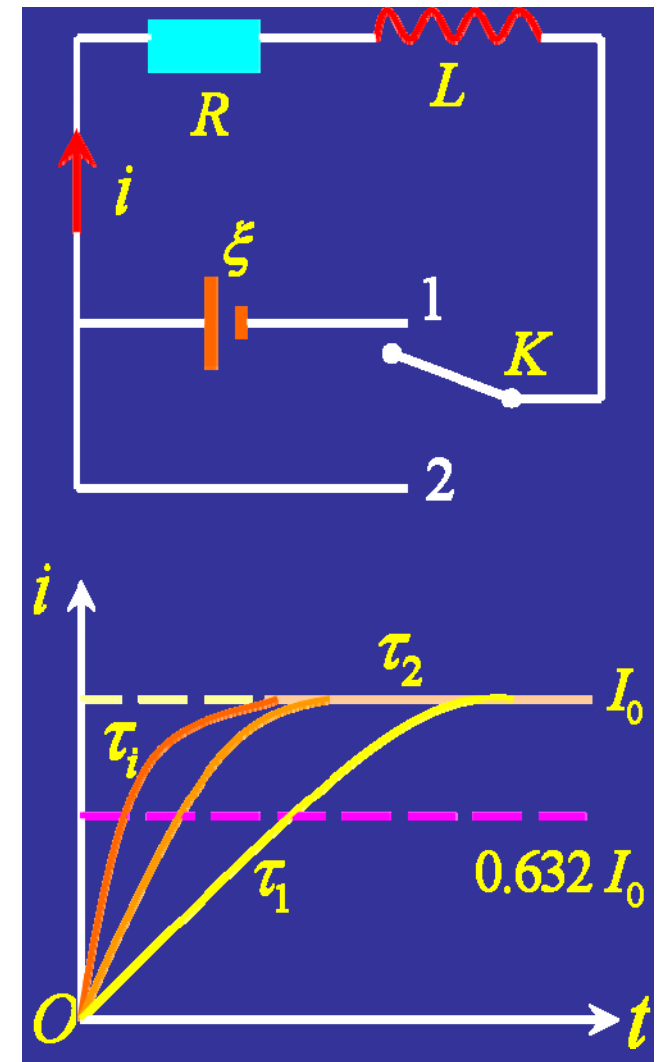


电磁学08-04: 自感与互感问题

□ 自感电路的过渡过程：电路接通

$$i = 0 \text{ at } t = 0, \quad \therefore \xi - L \frac{di}{dt} = iR \Rightarrow \frac{di}{\frac{\xi}{R} - i} = \frac{R}{L} dt$$
$$\Rightarrow \int_0^i \frac{di}{\frac{\xi}{R} - i} = \int_0^t \frac{R}{L} dt \Rightarrow i = \frac{\xi}{R} (1 - e^{-\frac{R}{L}t})$$
$$i = I_0 (1 - \frac{1}{e}) \text{ at } t = L/R$$

回路时间系数
弛豫时间





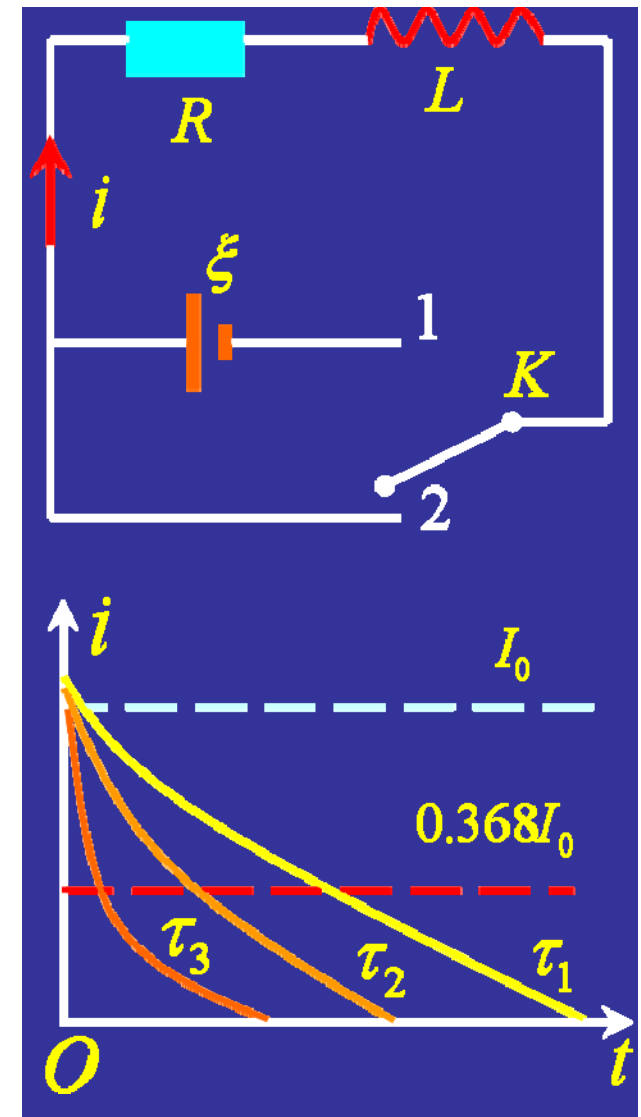
电磁学08-04: 自感与互感问题

□ 自感电路的过渡过程：电路断开

$$i = I_0 = \frac{\xi}{R} \text{ at } t = 0, \quad -L \frac{di}{dt} = iR$$
$$\Rightarrow \int_{I_0}^i \frac{di}{i} = \int_0^t -\frac{R}{L} dt \Rightarrow i = I_0 e^{-\frac{R}{L}t}$$

□ 自感电路的危害与应用

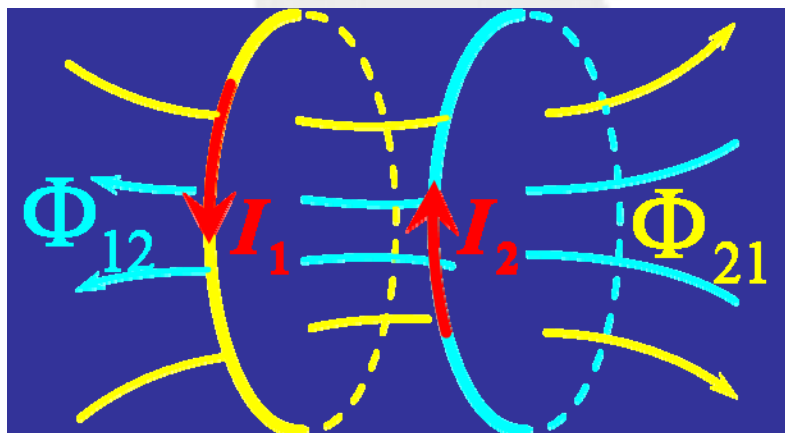
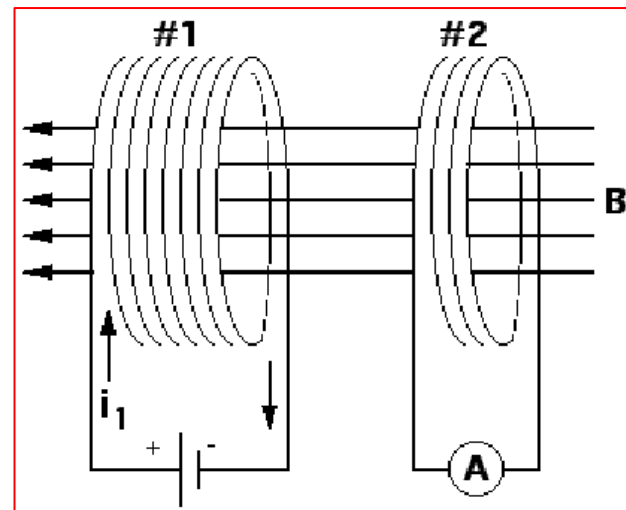
□ Resonant RLC circuit





电磁学08-04: 自感与互感问题

□ 互感现象：一对相互靠近的感应线圈，因一个或两个载流线圈的电流变化而在对方线圈中激起感应电动势，这一现象称为互感应现象。



$$\left. \begin{aligned} \text{for loop 1: } \Phi_1 &= \int_{S_1} (\vec{B}_1 + \vec{B}_2) \cdot d\vec{S}_1 \\ \because \Phi_{11} &= \int_{S_1} \vec{B}_1 \cdot d\vec{S}_1, \quad \Phi_{12} = \int_{S_1} \vec{B}_2 \cdot d\vec{S}_1 \\ \therefore \Phi_1 &= \Phi_{11} + \Phi_{12} = L_1 I_1 + M_{12} I_2 \end{aligned} \right\} M_{12} = \frac{\Phi_{12}}{I_2}$$

$$\left. \begin{aligned} \text{for loop 2: } \Phi_2 &= \int_{S_2} (\vec{B}_1 + \vec{B}_2) \cdot d\vec{S}_2 \\ \because \Phi_{21} &= \int_{S_2} \vec{B}_1 \cdot d\vec{S}_2, \quad \Phi_{22} = \int_{S_2} \vec{B}_2 \cdot d\vec{S}_2 \\ \therefore \Phi_2 &= \Phi_{21} + \Phi_{22} = M_{21} I_1 + L_2 I_2 \end{aligned} \right\} M_{21} = \frac{\Phi_{21}}{I_1}$$

回路2对1的互感系数 M_{12}

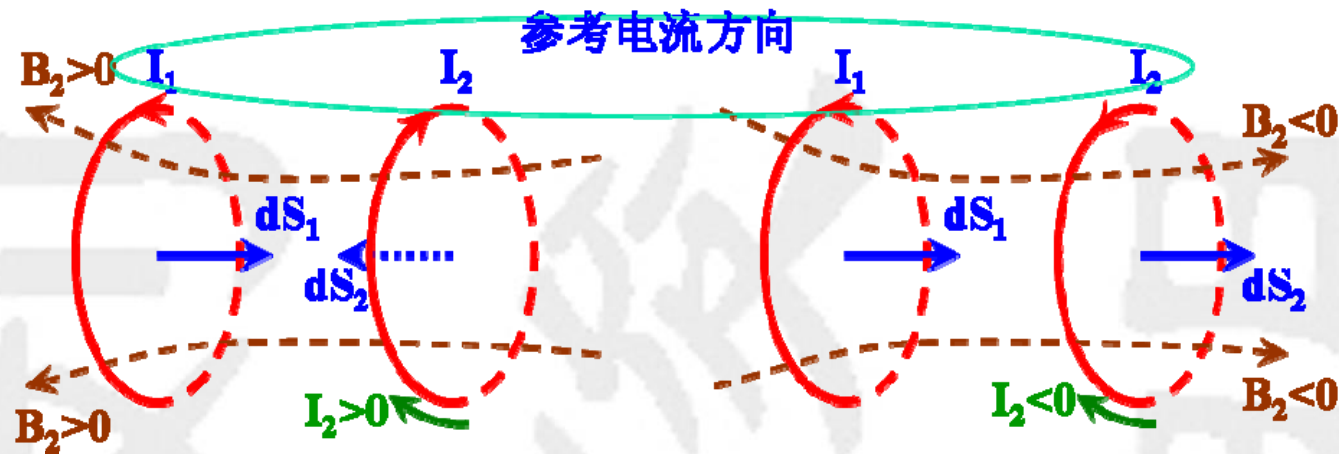
回路1对2的互感系数 M_{21}

$$M_{12} = M_{21} = M$$



电磁学08-04: 自感与互感问题

- 符号问题：每个回路电流参考方向与回路所张曲面法线方向满足右手螺旋法则；一旦实际电流与参考电流相反，则取负号。



$$M_{12} = \frac{\Phi_{12}}{I_2} = \frac{1}{I_2} \iint_{S_1} \vec{B}_2 \cdot d\vec{S}_1$$

if $I_2 > 0$, $\angle(\vec{B}_2 \cdot \vec{S}_1) \sim [\pi/2, 3\pi/2]$, $\iint_{S_1} \vec{B}_2 \cdot d\vec{S}_1 < 0 \Rightarrow M_{12} < 0$

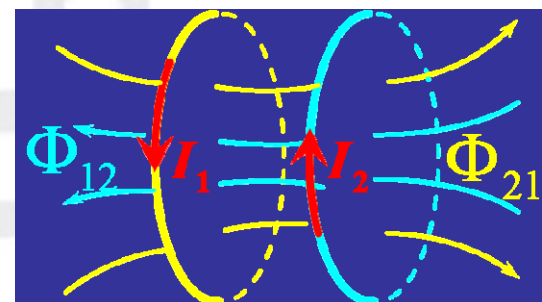
if $I_2 < 0$, $\vec{B}_2 < 0$, $\iint_{S_1} \vec{B}_2 \cdot d\vec{S}_1 < 0 \Rightarrow M_{12} > 0$, $(M_{12}I_2)$ keeps its sign!



电磁学08-04: 自感与互感问题

- 互感系数和两回路的几何形状、尺寸，它们的相对位置，以及周围介质的磁导率有关
- 互感系数的大小反映了两个线圈磁场的相互影响程度。

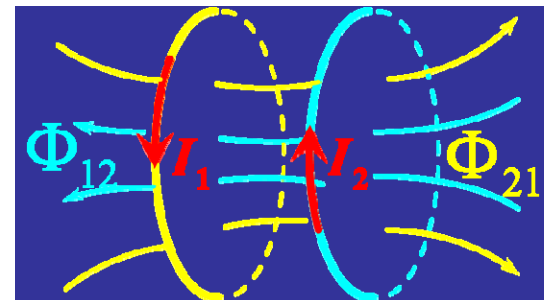
$$\begin{aligned}\text{for loop 1: } \Sigma_1 &= -\frac{d\Phi_1}{dt} = -L_1 \frac{dI_1}{dt} - M \frac{dI_2}{dt} = \Sigma_{11} + \Sigma_{12} \\ \text{for loop 2: } \Sigma_2 &= -\frac{d\Phi_2}{dt} = -M \frac{dI_1}{dt} - L_2 \frac{dI_2}{dt} = \Sigma_{21} + \Sigma_{22} \\ \therefore \Sigma_{12} &= -M \frac{dI_2}{dt}, \quad \therefore |\Sigma_{12}| = |M| \quad \text{at } \frac{dI_2}{dt} = 1 \text{ A/s}\end{aligned}$$



- 互感系数在数值上等于当第二个回路电流变化率为每秒一安培时，在第一个回路所产生的互感电动势的大小。



电磁学08-04: 自感与互感问题



□ 互感系数相等证明(两线圈电流从零变化到 I_1 、 I_2)

□ 从做功角度切入:

$$\text{for loop 1: } \Sigma_1 = -L_1 \frac{di_1}{dt} - M_{12} \frac{di_2}{dt}, \quad dW_1 = |\Sigma_1| i_1 dt$$

$$\text{for loop 2: } \Sigma_2 = -M_{21} \frac{di_1}{dt} - L_2 \frac{di_2}{dt}, \quad dW_2 = |\Sigma_2| i_2 dt$$

$$dW = dW_1 + dW_2 = L_1 i_1 di_1 + L_2 i_2 di_2 + M_{12} i_1 di_2 + M_{21} i_2 di_1$$

$$\because i_1 di_2 = d(i_1 i_2) - i_2 di_1, \quad \therefore dW = L_1 i_1 di_1 + L_2 i_2 di_2 + M_{12} d(i_1 i_2) + (M_{21} - M_{12}) i_2 di_1$$

□ 假定 (i_1, i_2) 各自独立变化到 (I_1, I_2) , 则总功跟过程无关:

$$W = \int_0^{I_1, I_2} dW = \frac{1}{2} L_1 I_1^2 + \frac{1}{2} L_2 I_2^2 + M_{12} I_1 I_2 + (M_{21} - M_{12}) \int_0^{I_1, I_2} i_2 di_1$$



电磁学08-04: 自感与互感问题

- 如果互感问题不涉及铁磁质，即功为单值函数，则

$$(M_{21} - M_{12}) \int_0^{I_1, I_2} i_2 di_1 = 0 \Rightarrow \because \int_0^{I_1, I_2} i_2 di_1 \neq 0, \therefore M_{21} = M_{12}$$

- 如果互感问题涉及铁磁质，则磁化过程与路径相关，总功 W 不再是单值函数，则：

$$M_{21} \neq M_{12}$$

- 实际电工学中上式都是成立的，互感系数不能视为相等。



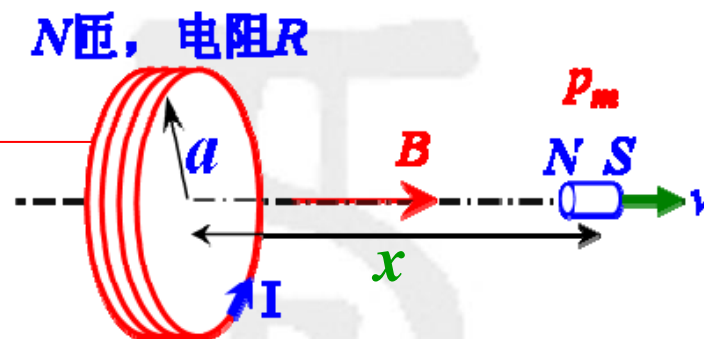
电磁学08-04: 自感与互感问题

- 【例8.3.25】一大圆线圈半径为 a ，共有 N 匝，电阻为 R 。一磁偶极矩为 p_m 的小磁棒沿它的轴线抽出，在离中心为 x 处时，抽出速度为 v 。求大线圈中产生的感应电动势；当小磁棒从线圈中心移到无穷远处，大线圈中流过的电荷量。

- 设在 x 处有一同轴小线圈 S :

$$\text{at point } x: B = \frac{\mu_0 N a^2 I}{2(x^2 + a^2)^{3/2}} \Rightarrow$$

$$\Phi = BS = \frac{\mu_0 N a^2 I S}{2(x^2 + a^2)^{3/2}} \Rightarrow M_{\text{小大}} = \frac{\Phi}{I} = \frac{\mu_0 N a^2 S}{2(x^2 + a^2)^{3/2}}$$



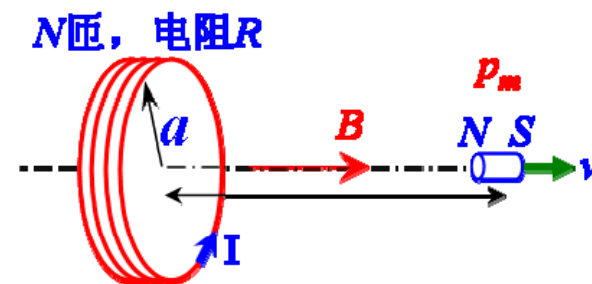
互感系数的
等价与转换

- 设同轴小线圈 S 有电流 i 流过:

$$p_m = \mu_0 i S \Rightarrow \Psi = M_{\text{大小}} i \xrightarrow{M_{\text{大小}} = M_{\text{小大}}} \frac{N a^2 p_m}{2(x^2 + a^2)^{3/2}}$$



电磁学08-04: 自感与互感问题



□ 由此，小线圈引起的大线圈感应电动势：

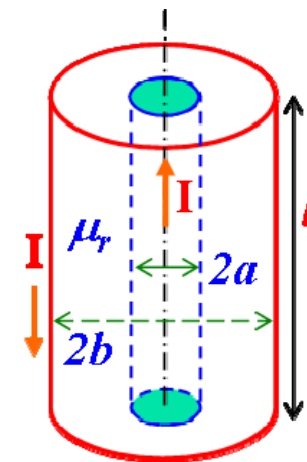
$$\begin{aligned}\Sigma &= -\frac{d\Psi}{dt} = -\frac{d}{dt} \left(\frac{Na^2 p_m}{2(x^2 + a^2)^{3/2}} \right) = -\frac{Na^2 p_m}{2} \frac{d}{dt} \left(\frac{1}{(x^2 + a^2)^{3/2}} \right) \\ &= \frac{3Na^2 p_m x}{2(x^2 + a^2)^{5/2}} \frac{dx}{dt} = \frac{3Na^2 p_m x}{2(x^2 + a^2)^{5/2}} v\end{aligned}$$

□ 大线圈的电流：

$$\begin{aligned}I &= \frac{dq}{dt} = \frac{\Sigma}{R} = -\frac{Na^2 p_m}{2R} \frac{d}{dt} \left(\frac{1}{(x^2 + a^2)^{3/2}} \right) \\ dq &= -\frac{Na^2 p_m}{2R} d \left(\frac{1}{(x^2 + a^2)^{3/2}} \right) \Rightarrow q = -\frac{Na^2 p_m}{2R} \frac{1}{(x^2 + a^2)^{3/2}} \Bigg|_{x=0}^{x=\infty} = \frac{Np_m}{2aR}\end{aligned}$$



电磁学08-04: 自感与互感问题



- 磁链的概念:
- 【例8.3.28】同轴电缆有直导线(半径为 a , 磁导率 μ_1)和外圆筒(半径为 b)组成, 中间充满介质(μ_2)。电流在电缆内均匀流动。求电缆单位长度自感 L 。
- 磁场局限在外圆筒内部: 导线内磁链为 Ψ_i , 磁介质内磁链为 Ψ_e , 则:

$$L_i = \Psi_i / I, L_e = \Psi_e / I \Rightarrow L = L_i + L_e$$

$$\Psi_e = \iint_S \vec{B} \cdot d\vec{S} = \int_a^b B l dr = \frac{\mu_0 \mu_2 I l}{2\pi} \int_a^b \frac{dr}{r} = \frac{\mu_0 \mu_2 I l}{2\pi} \ln \frac{b}{a} \Rightarrow L_e = \frac{\mu_0 \mu_2 l}{2\pi} \ln \frac{b}{a}$$

- 对导线而言:

$$\oint_i \vec{H} \cdot d\vec{l} = 2\pi r H = \frac{I}{\pi a^2} \pi r^2 \Rightarrow H = \frac{\mu_0 I r}{2\pi a^2} \Rightarrow B = \frac{\mu_0 \mu_1 I r}{2\pi a^2}$$



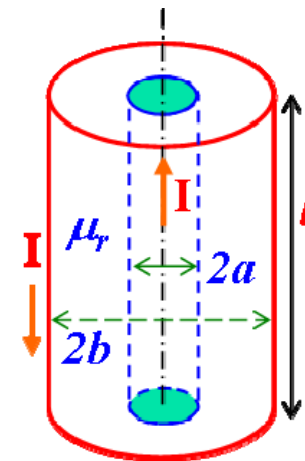
电磁学08-04: 自感与互感问题

□ 继续：以轴心为原点，取半径 r 处的面积元 $dS=ldr$

$$d\Phi_i = B dS = \frac{\mu_0 \mu_1 I l}{2\pi a^2} r dr$$

$$Id\Psi_i = I_i d\Phi_i$$

磁链的概念



□ 这部分磁通只是包围了导线内半径为 r 的部分，其电流为：

$$I_i = \frac{r^2}{a^2} I \Rightarrow \eta = \frac{I_i}{I} = \frac{r^2}{a^2}$$

分数匝数

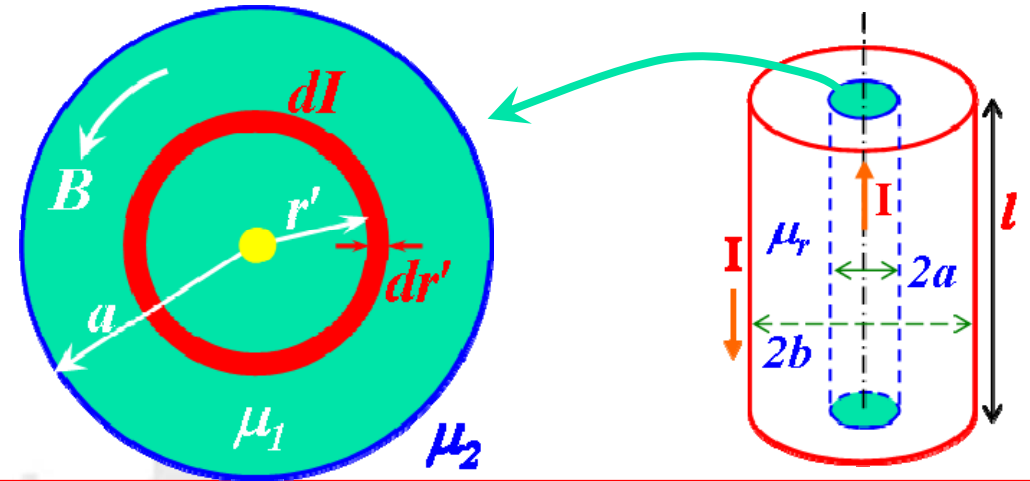
$$d\Psi_i = \frac{I_i}{I} d\Phi_i = \frac{\mu_0 \mu_1 I l}{2\pi a^4} r^3 dr \Rightarrow \Psi_i = \int_0^a d\Psi_i = \frac{\mu_0 \mu_1 I l}{8\pi} \Rightarrow L_i = \frac{\Psi_i}{I} = \frac{\mu_0 \mu_1 l}{8\pi}$$

$$L = L_e + L_i = \frac{\mu_0 \mu_2 l}{2\pi} \ln \frac{b}{a} + \frac{\mu_0 \mu_1 l}{8\pi} \Rightarrow \frac{L}{l} = \frac{\mu_0}{4\pi} \left(2\mu_2 \ln \frac{b}{a} + \frac{1}{2} \mu_1 \right)$$



电磁学08-04: 自感与互感问题

□ 对导线部分换一个角度求解：对截面取电流圆环 dI



$$dI = \frac{I}{\pi a^2} 2\pi r' dr' = \frac{2I}{a^2} r' dr'$$

$$\oint_i \vec{H}_{dI} \cdot d\vec{l} \Big|_{r>r'} = 2\pi r H_{dI} \Big|_{r>r'} = dI \Rightarrow B_{dI} = \frac{\mu_0 \mu_1}{2\pi r} dI = \frac{\mu_0 \mu_1}{\pi r} \frac{I}{a^2} r' dr' \Big|_{r>r'}$$

$$d\Phi_{dI} = \iint_{S_{dI}} B_{dI} dS_{dI} \xrightarrow{dS_{dI}=l dr} \frac{\mu_0 \mu_1 I}{\pi a^2} r' dr' \int_{r'}^a \frac{1}{r} l dr = \frac{\mu_0 \mu_1 l I}{\pi a^2} r' (\ln \frac{a}{r'}) dr'$$

$$\Psi_i = \int_0^a d\Phi_{dI} = \frac{\mu_0 \mu_1 l I}{\pi a^2} \int_0^a r' (\ln \frac{a}{r'}) dr' = \frac{\mu_0 \mu_1 l I}{4\pi} \Rightarrow L_i = \frac{\Psi_i}{I} = \frac{\mu_0 \mu_1 l}{4\pi}$$

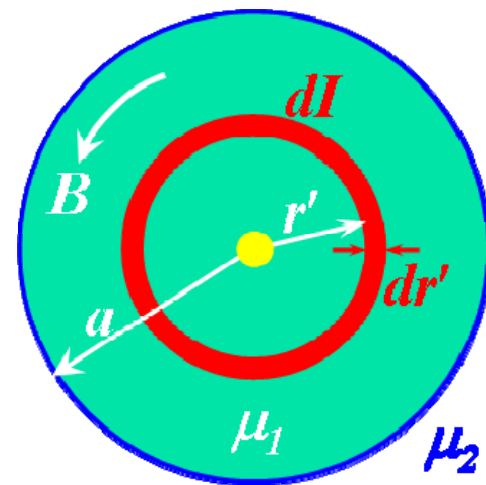
??????看起来不对！错误在哪里？

也可以从能量角度求！即【例2, p.328】，后面会涉及！



电磁学08-04: 自感与互感问题

- 对导线部分再换一个角度求解：一系列电流环所产生自感的“叠加和” $L_i = \sum dL_i$
- 注意：在对 dL 进行求和时，我们化其为对 dr'/a 的积分，以保证量纲一致。



$$dI = \frac{I}{\pi a^2} 2\pi r' dr' = \frac{2I}{a^2} r' dr', \quad d\Phi_{dI} = \frac{\mu_0 \mu_1 I l}{\pi a^2} r' dr' \int_{r'}^a \frac{1}{r} dr = \frac{\mu_0 \mu_1 I l}{\pi a^2} r' (\ln \frac{a}{r'}) dr'$$

$$dL|_{dI} = \frac{d\Phi_{dI}}{dI} = \frac{\mu_0 \mu_1 l}{2\pi} \int_{r'}^a \frac{1}{r} dr \Rightarrow r' dL|_{dI} = a dL_i$$

$$L_i = \int_0^a \frac{r'}{a} \left(dL|_{dI} \right) \frac{dr'}{a} = \frac{\mu_0 \mu_1 l}{2\pi a^2} \int_0^a r' dr' \int_{r'}^a \frac{1}{r} dr = \frac{\mu_0 \mu_1 l}{4\pi}$$

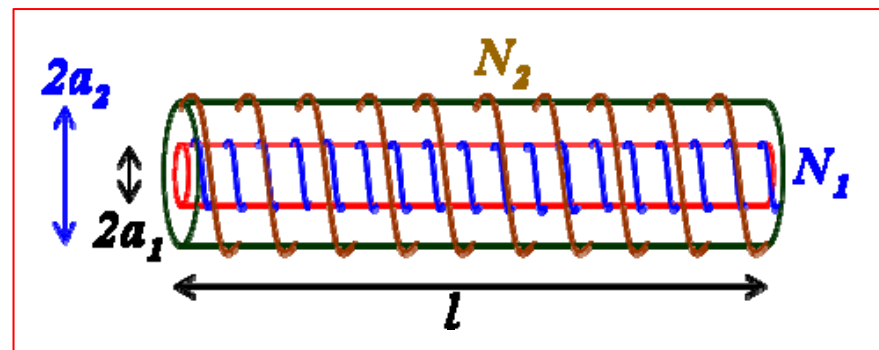
$$\Psi_i = I L_i = \frac{\mu_0 \mu_1 I l}{4\pi}$$

也可以从能量角度求！即【例2, p.328】，后面会涉及！



电磁学08-04: 自感与互感问题

□ 【例8.3.7】两螺线管相套，略去边缘效应，求自感、互感及相互关系。



$$B_1 = \mu_0 n_1 I_1 = \mu_0 \frac{N_1}{l} I_1 \Rightarrow \Phi_1 = B_1 S_1 = \frac{\pi \mu_0 N_1 a_1^2}{l} I_1$$

$$\Psi_1 = N_1 \Phi_1 = \frac{\pi \mu_0 N_1^2 a_1^2}{l} I_1 \Rightarrow L_1 = \frac{\Psi_1}{I_1} = \frac{\pi \mu_0 N_1^2 a_1^2}{l}$$

$$L_2 = \frac{\pi \mu_0 N_2^2 a_2^2}{l}$$

$$\Psi_{21} = N_2 \Phi_{21} = N_2 [B_1 S_1 + B_1 (=0)(S_2 - S_1)] = N_2 B_1 S_1 = \frac{\pi \mu_0 N_1 N_2 a_1^2}{l} I_1 \Rightarrow$$

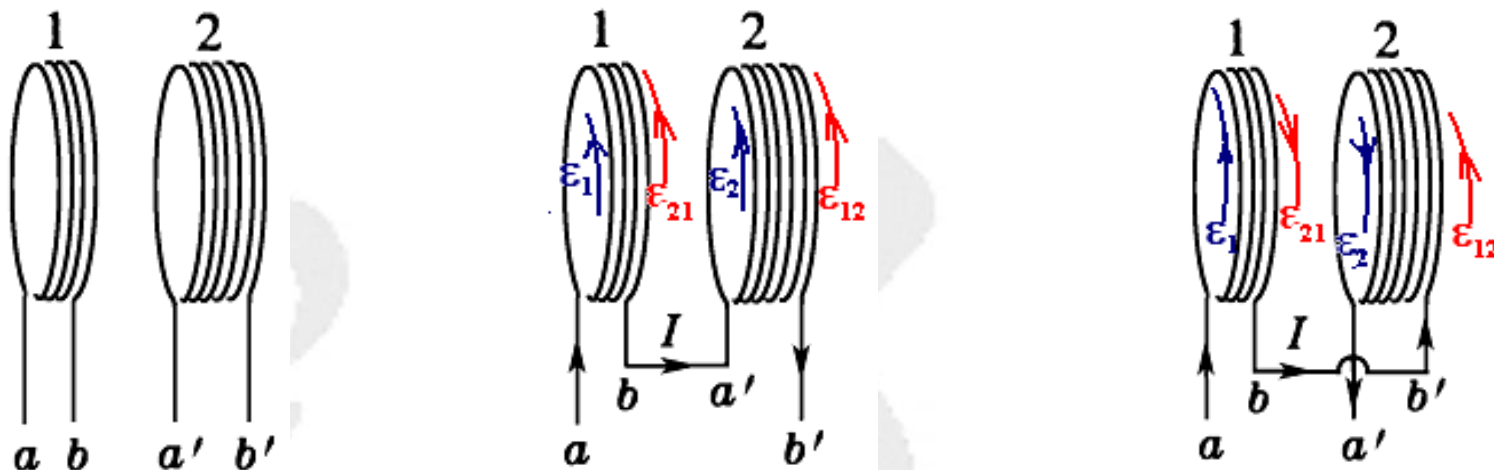
$$M = \frac{\Psi_{21}}{I_1} = \frac{\pi \mu_0 N_1 N_2 a_1^2}{l} \Rightarrow M = \frac{a_1}{a_2} \sqrt{L_1 L_2}$$

注意小螺线管外和大螺旋管内空间没有 B_1 ，或者说 $B_1=0$ 。



电磁学08-04: 自感与互感问题

□ 电感串联问题:



$$\Sigma_1 + \Sigma_{21} = -\left(L_1 \frac{dI}{dt} + M \frac{dI}{dt}\right), \quad \Sigma_2 + \Sigma_{12} = -\left(L_2 \frac{dI}{dt} + M \frac{dI}{dt}\right)$$

$$\Sigma = \Sigma_1 + \Sigma_{21} + \Sigma_2 + \Sigma_{12} \Rightarrow L = L_1 + L_2 + 2M$$

$$\Sigma = \Sigma_1 - \Sigma_{21} + \Sigma_2 - \Sigma_{12} \Rightarrow L = L_1 + L_2 - 2M$$



电磁学08-05: 磁场能量问题

- 通过感应电路来讨论磁场能量的宏观形式
- 电路接通后的过渡过程:

$$\xi - L \frac{di}{dt} = iR \Rightarrow$$

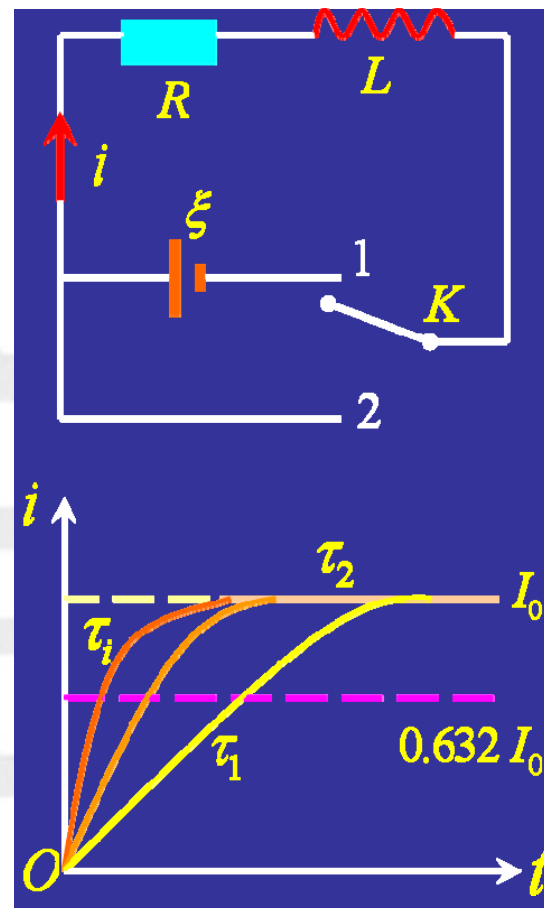
$$\xi i dt = i^2 R dt + L i di$$

dt内电源对
电路做功

dt内电阻产
生的焦耳热

dt内电流变化在
线圈内产生磁通
变化, 转化为与
电流反向的感应
电动势, 电流抵
抗电动势做功

$$dW = L i di \Rightarrow W_m = \int_0^{I_0} L i di = \frac{1}{2} L I_0^2$$





电磁学08-05: 磁场能量问题

□ 电路切断后的过渡过程:

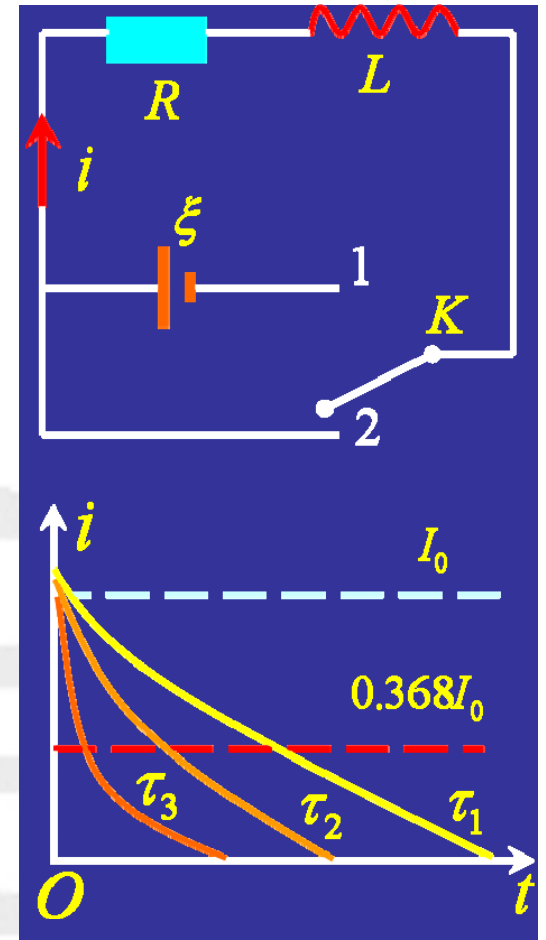
$$-L \frac{di}{dt} = iR \Rightarrow$$

$$i^2 R dt + L i di = 0$$

电路切断, dt 内
磁通释放在电路
中产生电流, 转
化为焦耳热

dt 内电阻产生的焦耳热

$$\int_0^\infty i^2 R dt = I_0^2 R \int_0^\infty e^{-\frac{2R}{L}t} dt = \frac{1}{2} L I_0^2$$



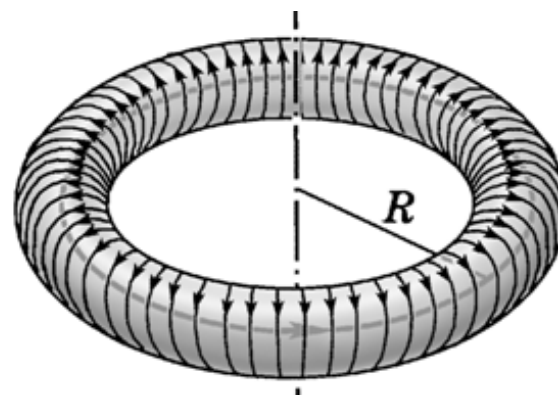
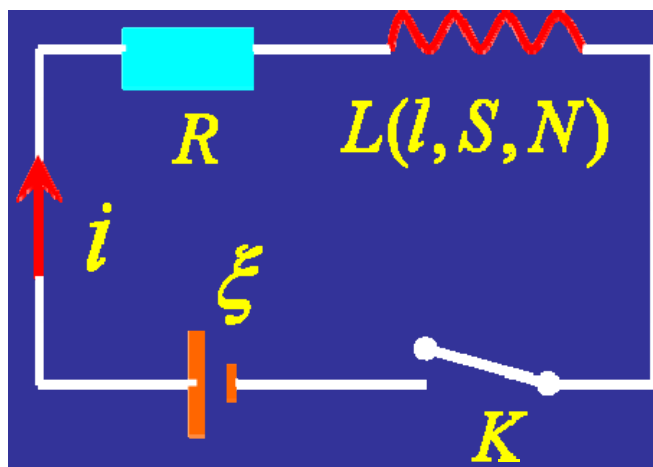
□ 电流所消耗的能量

□ 以上推导仅适合于线圈中无铁磁质, 不适用于一般情况



电磁学08-05: 磁场能量问题

□ 磁场储能一般情况讨论：还是螺绕线圈



$$\Phi = nlBS \Rightarrow \xi - nlS \frac{dB}{dt} = iR \Rightarrow \xi idt = i^2 Rdt + nlS idB$$

$$\because \oint_L \vec{H} \cdot d\vec{l} = \sum_{L\text{内}} I_0 \Rightarrow Hl = nil \Rightarrow H = ni$$

$$\therefore \xi idt = i^2 Rdt + lSHdB \Rightarrow w_m = lSHdB / V (= lS) = HdB$$

在螺绕圈内
磁场已经为
H 时，电源
再对螺绕圈
做功 **HdB**



电磁学08-05: 磁场能量问题

- 电源供给螺绕圈的能量变为磁场能量，螺绕圈内部磁场体积近似为 **SI**，则单位体积磁能为：

$$\begin{aligned} W_m &= \int_0^B H dB \xrightarrow{\text{anisotropic media}} \int_0^B \vec{H} \cdot d\vec{B} \\ \because \vec{B} &= \mu_r \mu_0 \vec{H}, \quad W_m = \int_0^H \vec{H} \cdot d(\mu_r \mu_0 \vec{H}) \\ &= \begin{cases} \frac{1}{2} \mu_r \mu_0 H^2 = \frac{1}{2} BH, & \text{if } \mu_r = \text{const} \\ \mu_0 \int_0^H \vec{H} \cdot d(\mu_r \vec{H}), & \text{if } \mu_r = \mu_r(H) \end{cases} \end{aligned}$$



电磁学08-05: 磁场能量问题

□ 对于存在互感的一般情况讨论：在建立电流过程中，电源除了供给线圈中产生焦耳热的能量和反抗自感电动势做功外，还要反抗互感电动势做功。

□ 反抗互感电动势做的功：

$$A_b = \int (-\sum_{12} I_1 dt - \sum_{21} I_2 dt)$$

□ 如果考虑互感系数 M 为常数(无磁介质)，则：

$$A_b = \int (MI_1 dI_2 + MI_2 dI_1) = \int_0^{I_1 I_2} M d(I_1 I_2) = MI_1 I_2$$

$$\therefore W_m = \frac{1}{2} L_1 I_1^2 + \frac{1}{2} L_2 I_2^2 + MI_1 I_2 = \frac{1}{2} L_1 I_1^2 + \frac{1}{2} L_2 I_2^2 + \frac{1}{2} M_{12} I_1 I_2 + \frac{1}{2} M_{21} I_2 I_1$$

$$\text{for } n \text{ induction coils: } W_m = \frac{1}{2} \sum_{i=1}^n L_i I_i^2 + \frac{1}{2} \sum_{\substack{i,j=1 \\ i \neq j}}^n M_{ij} I_i I_j = \frac{1}{2} \sum_{i=1}^n I_i \Phi_i$$



电磁学08-05: 磁场能量问题

□ 功能原理:

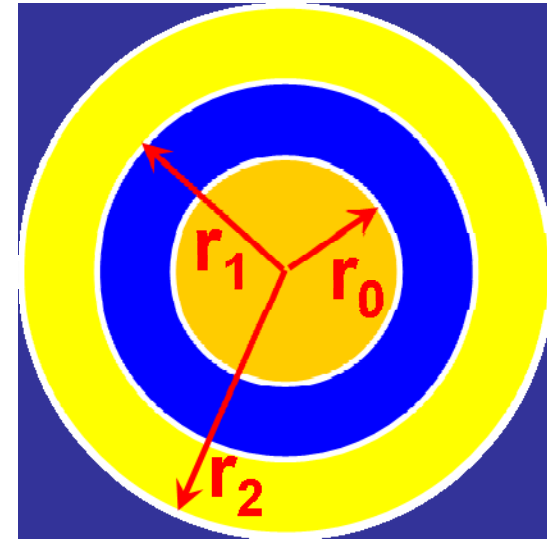
$$\sum_k \sum_k I_k dt = \sum_j I_j^2 R_j dt + dA + dW_m$$

□ 电源供给的能量=释放的焦耳热+磁场对外所作功+磁能的增加



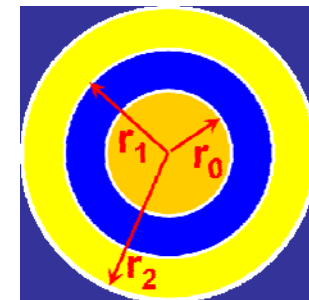
- 【例2 p.328】一同轴电缆，电流从中间导体圆柱面流入，从外层圆柱面流出构成闭合回路。试计算单位长度电缆内的磁场能以及自感系数 L 。

$$W_m = \frac{1}{2} LI^2$$
$$\left\{ \begin{array}{ll} H_1 = \frac{Ir}{2\pi r_0^2}, & (r \leq r_0) \\ H_2 = \frac{I}{2\pi r}, & (r_0 < r \leq r_1) \\ H_3 = \frac{I(r_2^2 - r^2)}{2\pi r(r_2^2 - r_1^2)}, & (r_1 < r \leq r_2) \\ H_4 = 0, & (r_2 < r) \end{array} \right.$$



- 长度为 l 的一段电缆内磁能为：

$$W_L = \int W_m dV = \int \left(\frac{1}{2} \mu_0 \mu_r H^2 \right) dV$$
$$= \frac{1}{2} \mu_0 \mu_r \int_0^{r_2} H^2 \cdot 2\pi r l dr$$



□ 继续:

$$\begin{aligned} W &= \frac{W_L}{l} = \frac{1}{2} \mu_0 \mu_r \left[\int_0^{r_0} H_1^2 2\pi r dr + \int_{r_0}^{r_1} H_2^2 2\pi r dr + \int_{r_1}^{r_2} H_3^2 2\pi r dr \right] \\ &= \frac{1}{4\pi} \mu_0 \mu_r I^2 \left[\frac{1}{4} + \ln \frac{r_1}{r_0} + \frac{1}{(r_2^2 - r_1^2)} \left(\frac{r_2^4}{(r_2^2 - r_1^2)} \ln \frac{r_2}{r_1} - \frac{3r_2^2 - r_1^2}{4} \right) \right] \\ L &= \frac{2W}{I^2} = \frac{1}{2\pi} \mu_0 \left[\frac{1}{4} + \ln \frac{r_1}{r_0} + \frac{1}{(r_2^2 - r_1^2)} \left(\frac{r_2^4}{(r_2^2 - r_1^2)} \ln \frac{r_2}{r_1} - \frac{3r_2^2 - r_1^2}{4} \right) \right] \end{aligned}$$

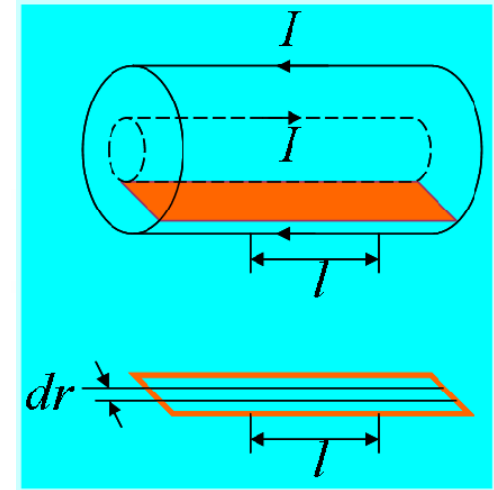
□ 上式中 L 为单位长度的自感系数



电磁学08-05: 磁场能量问题

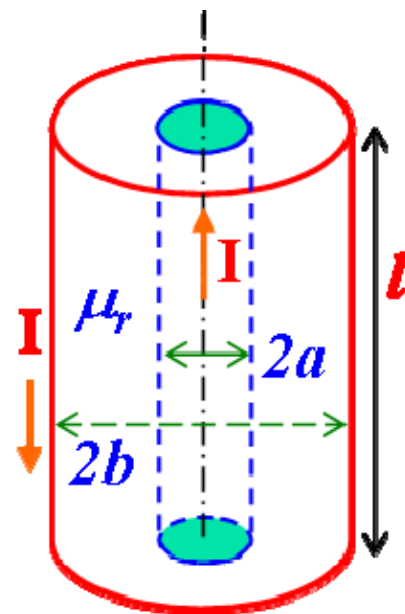
□ 类似的问题如果应用到【例2 p.321】：

$$\begin{aligned} W &= \frac{1}{2} \mu_0 \mu_r \int_{R_1}^{R_2} H_2^2 2\pi r dr \\ &= \frac{1}{2} \mu_0 \mu_r \int_{R_1}^{R_2} \left(\frac{Ir}{2\pi r} \right)^2 2\pi r dr = \frac{\mu_0 \mu_r I^2}{4\pi} \ln \left(\frac{R_2}{R_1} \right) \\ \therefore W &= \frac{1}{2} LI^2, \quad \therefore L = \frac{\mu_r \mu_0}{2\pi} \ln \frac{R_2}{R_1} \end{aligned}$$





- 类似的问题如果应用到【例8.3.28】(ppt.46)。
设电缆来回流动电流为 I :

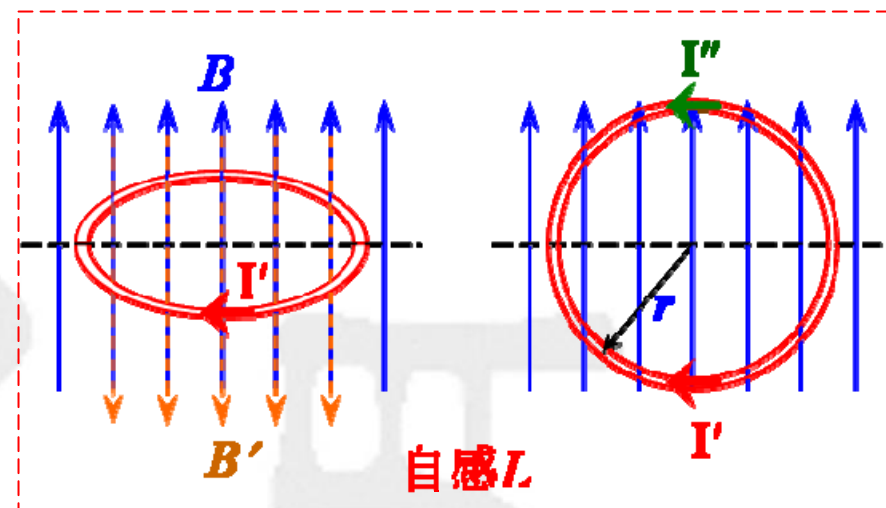


$$H = \begin{cases} \frac{I}{2\pi a^2} r, & r < a \\ 0, & r > b \\ \frac{I}{2\pi r}, & a < r < b \end{cases}$$

$$\begin{aligned} W_m &= \frac{1}{2} \mu_0 \iiint_V \mu_r H^2 dV = \frac{1}{2} \mu_0 l \iint_S \mu_r H^2 dS = \frac{1}{2} \mu_0 l \int_0^b \mu_r H^2 2\pi r dr \\ &= \frac{1}{2} \mu_0 l \left[\int_0^a \mu_1 \left(\frac{I}{2\pi a^2} r \right)^2 2\pi r dr + \int_a^b \mu_2 \left(\frac{I}{2\pi r} \right)^2 2\pi r dr \right] = \frac{\mu_0 \mu_1 I^2 l}{16\pi} + \frac{\mu_0 \mu_2 I^2 l}{4\pi} \ln \frac{b}{a} \\ \because W_m &= \frac{1}{2} L I^2, \quad \therefore L = \frac{\mu_0 l}{4\pi} \left(2\mu_2 \ln \frac{b}{a} + \frac{1}{2} \mu_1 \right) \Rightarrow \frac{L}{l} = \frac{\mu_0}{4\pi} \left(2\mu_2 \ln \frac{b}{a} + \frac{1}{2} \mu_1 \right) \end{aligned}$$



- 【例8.4.3/8.4.6】超导环自感为 L ，初始 $T < T_c$ ，然后在 Δt_1 内开启磁场 B 与环轴线平行，求环内电流及磁通表达式。如果再将环在 Δt_2 转到与 B 平行方向，如图，求环内电流和外力做功。



- 开启磁场，引起感应电动势：

$$\Sigma = -\frac{d\Phi}{dt} = -\frac{d}{dt} \left(\iint_s \vec{B} \cdot d\vec{S} \right) = -\pi r^2 \frac{dB}{dt}$$

$$LI' + \Delta\Phi = 0$$

$$\Sigma - L \frac{dI'}{dt} = RI' \xrightarrow{R=0} -\pi r^2 \frac{dB}{dt} = L \frac{dI'}{dt} \Rightarrow LdI' + \pi r^2 dB = 0$$

$$LI' + \pi r^2 B = 0 \Rightarrow I' = -\frac{\pi r^2}{L} B, \text{ independent of time } \Delta t_1$$

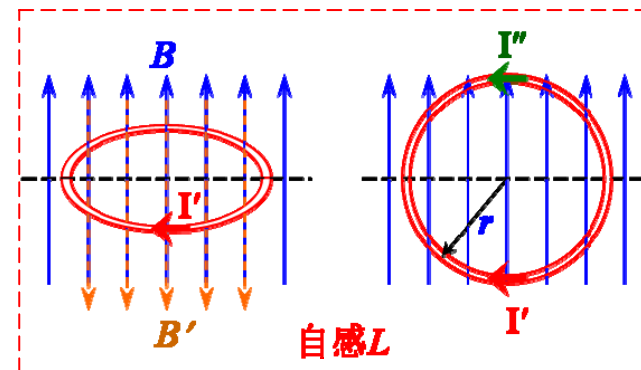
- $I' < 0$ 意味着感应磁场与 B 反向，为 B'



电磁学08-05: 磁场能量问题

□ 继续：圆环转动90°:

$$\Sigma = -\frac{d\Phi}{dt} = -\frac{\Delta\Phi}{\Delta t} \quad \Sigma - L\frac{dI'}{dt} = 0$$



$$\Delta\Phi = -\pi r^2 B$$

$$\therefore LI'' + \Delta\Phi = 0$$

$$\therefore I'' = -\Delta\Phi / L = I'' = \frac{\pi r^2}{L} B, \text{ independent of time } \Delta t_2$$

$$I = I' + I'' = 0$$

□ 转动圆环做功问题:

$$W = \frac{1}{2} LI''^2 = \frac{\pi^2 r^4 B^2}{2L}$$



电磁学08-05: 磁场能量问题

□ 磁能与电能的比较:

➤ 对铁磁质, $\mu_r=1000$, 磁能密度 $10^4 \sim 10^5 \text{ J/m}^3$; 对顺磁(μ_r 小)等, 磁能更大(针对 B 固定而言)。

➤ 对电介质, $\epsilon_r=10$, 电能密度约 10^4 J/m^3 。

➤ 但并非总是如此, 原子或电子轨道磁矩产生的磁场所负载的能量, 比静电能要小很多。

$$\begin{aligned} W_m &= \int_0^B H dB = \frac{1}{2\mu_0\mu_r} B^2 \xrightarrow{B=10T} \\ &= \frac{100 \text{ N}^2 / (\text{A} \cdot \text{m})^2}{2 \times 1000 \times 4\pi \times 10^{-7} \text{ N} / \text{A}^2} \\ &= 39432 \text{ J} / \text{m}^3 \\ W_E &= \frac{1}{2} \epsilon_0 \epsilon_r E^2 \xrightarrow{E=10^7 \text{ V/m}} \\ &= 8900 \text{ J} / \text{m}^3 \end{aligned}$$

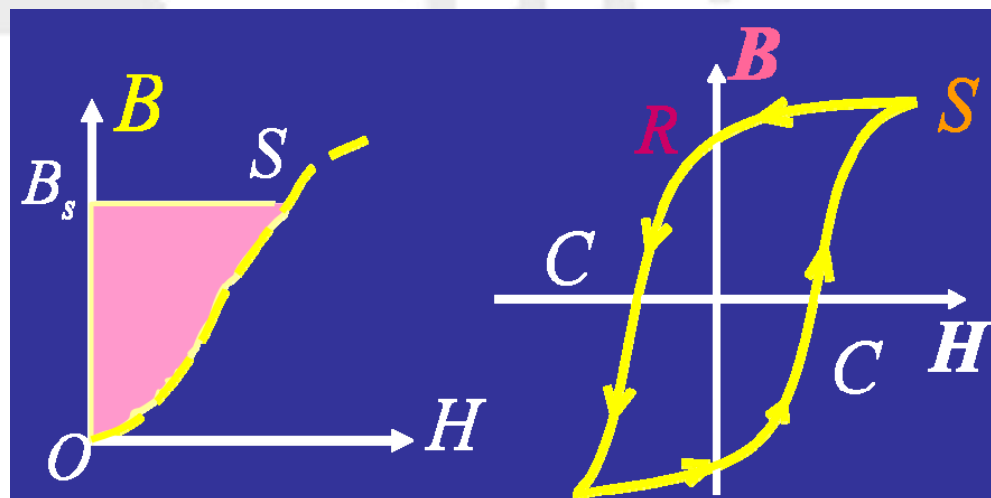
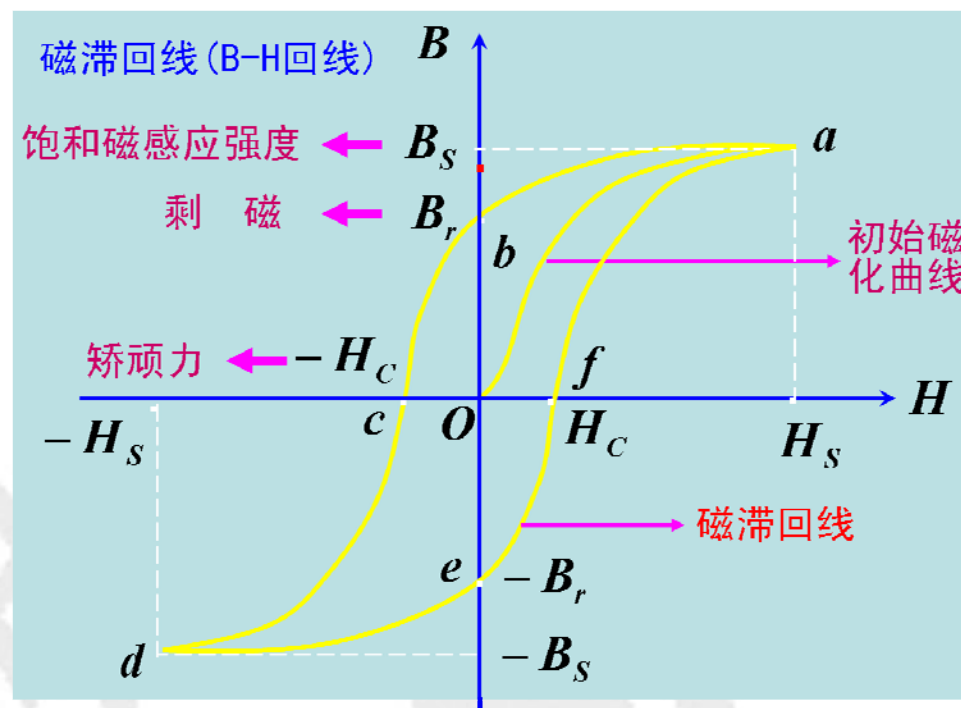


□ 再看磁滞回线:

$$W_m = \int_0^B \vec{H} \cdot d\vec{B} = f(H_{\max}, \omega)$$

$$dW_m = \vec{H} \cdot d\vec{B}$$

- 如果是磁滞介质，则升磁和退磁两个过程不重合，产生能量交换，转化为热量。
- 对磁滞回线，其面积就是循环一周所交换的能量。
- **Dynamic hysteresis**
- 对不同应用，这种能量损失有利有弊。

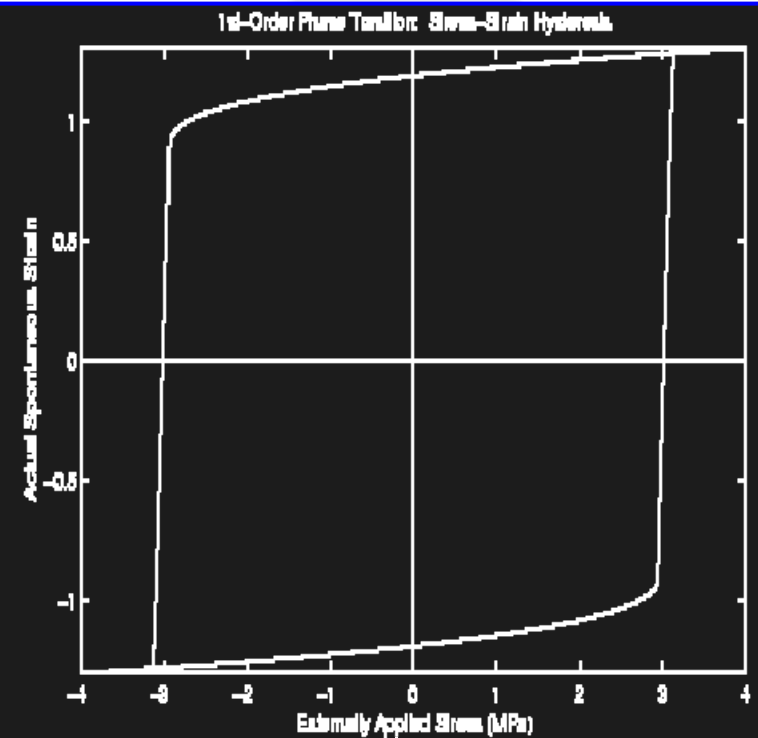
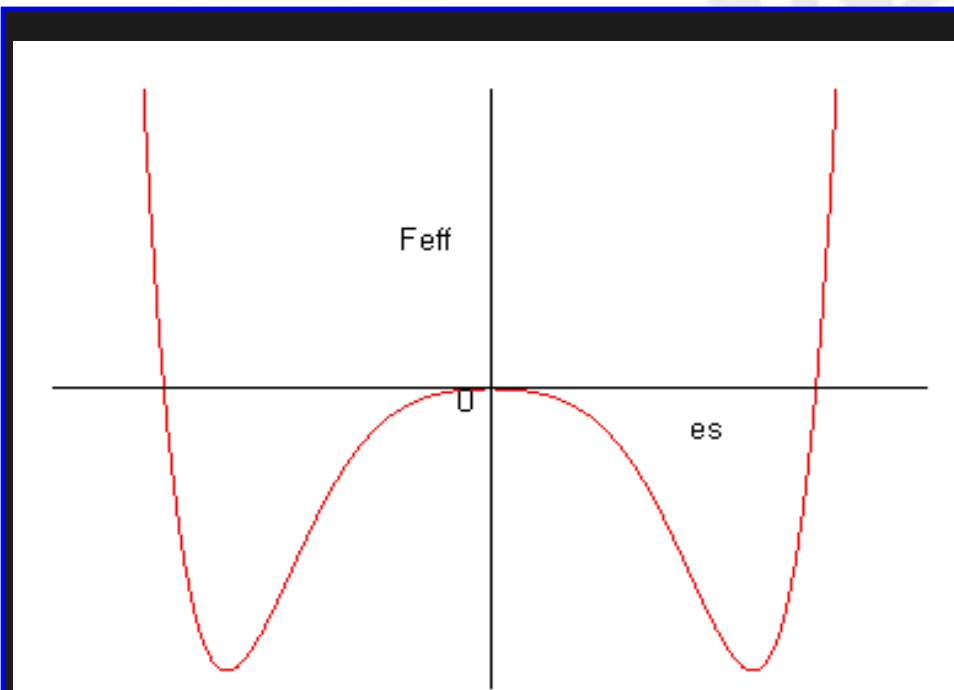




□ 回线动力学的一些现象:

$$\frac{\partial \Phi_\alpha}{\partial t} = -\Gamma \frac{\delta F}{\delta \Phi_\alpha} + \varphi_\alpha$$

$$\beta F = \int d^3x \left[\frac{1}{2} J (\nabla \Phi_\alpha \cdot \nabla \Phi_\alpha) + \frac{r}{2} (\Phi_\alpha \Phi_\alpha) + \frac{u}{4N} (\Phi_\alpha \Phi_\alpha)^2 - \sqrt{N} H_\alpha \Phi_\alpha \right]$$





□ 回线动力学的一些现象:

Heisenburg model

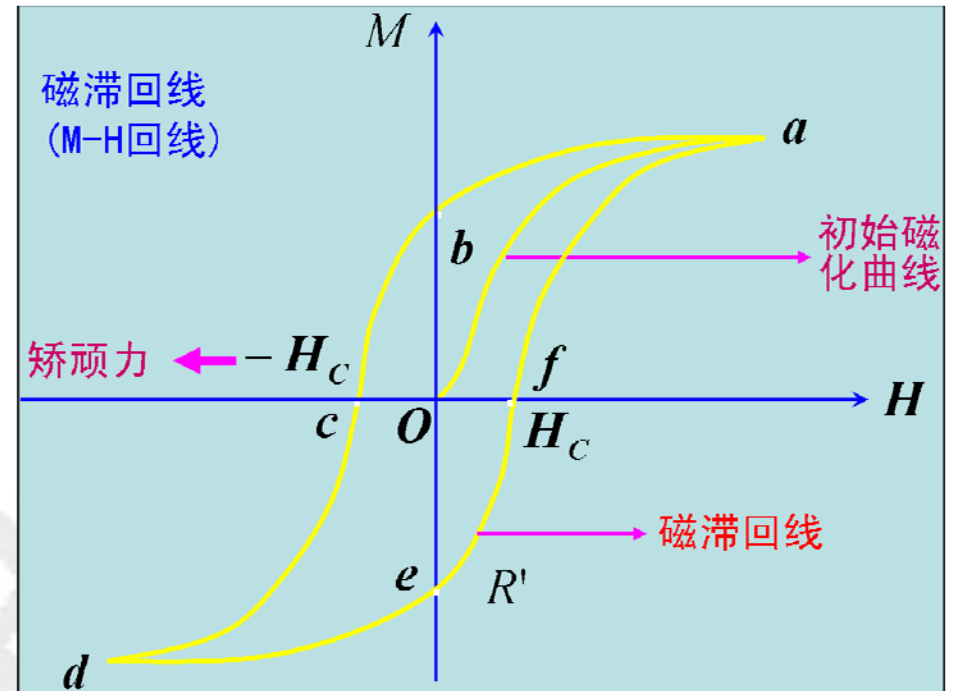
$$H = - \sum_{\langle i,j \rangle} \vec{S}_i \vec{S}_j - h \sum_i \vec{S}_i$$

Potts model

$$H = - \sum_{\langle i,j \rangle} S_i^n S_j^n - h \sum_i S_i^n$$

Ising model

$$H = - \sum_{\langle i,j \rangle} S_i S_j - h \sum_i S_i$$



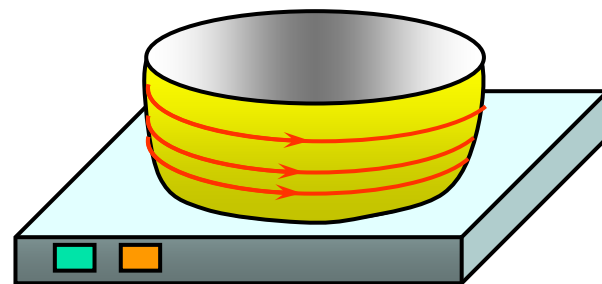
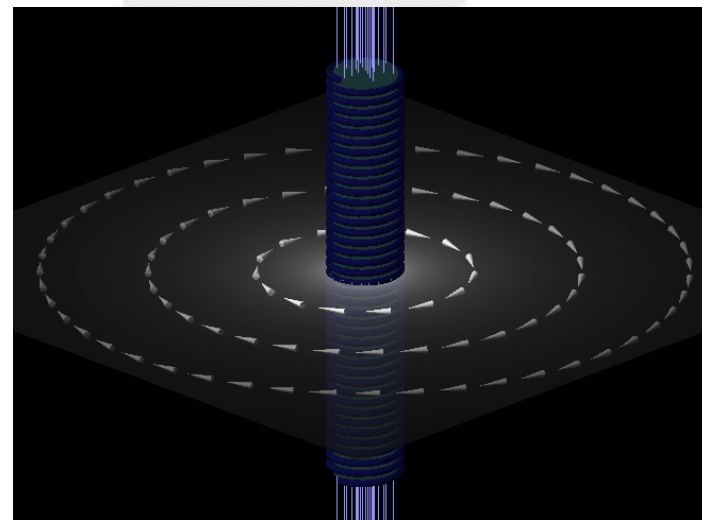
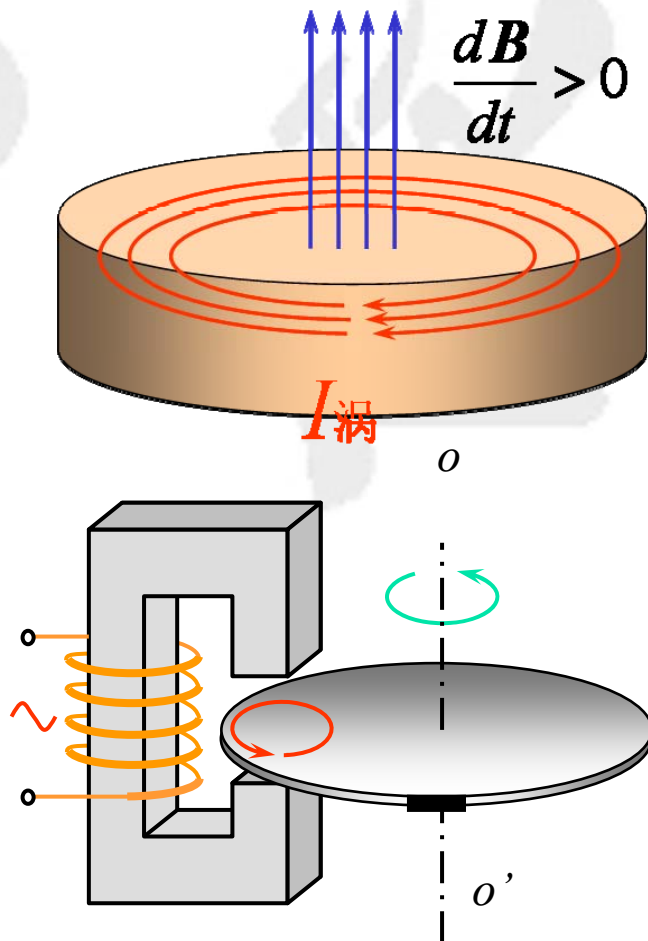
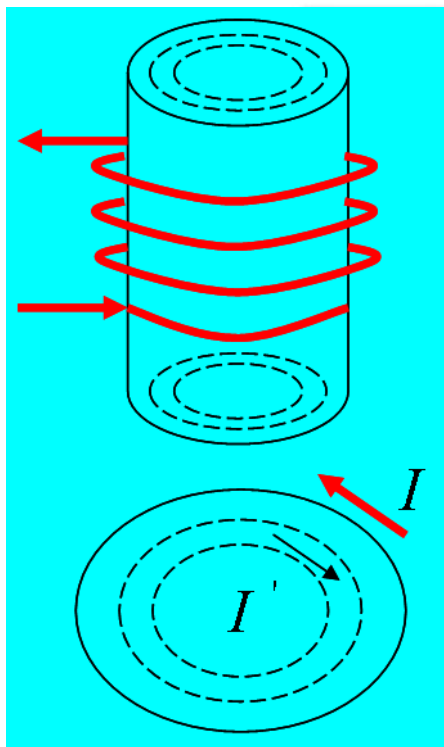
where n is the number of
chosen value of S , $2 < n < \infty$

where $S_i, S_j = +1, -1$



电磁学08-07: 涡电流(vortex flow, eddy current)

- ❑ 块状金属置于变化着的磁场中或在磁场中运动体内也产生感应电流，称涡电流或傅科电流。
- 涡电流损耗；叠片式铁芯；粉末状的铁芯；高频感应冶金炉；电动阻尼器等。





□ Steady State Magnetic Levitation

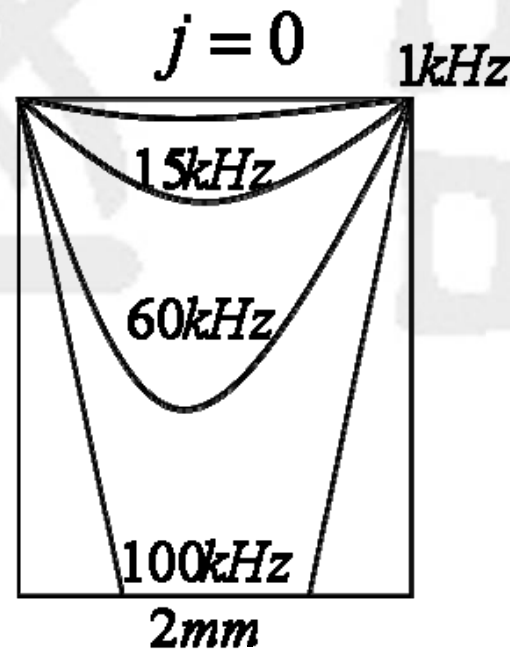
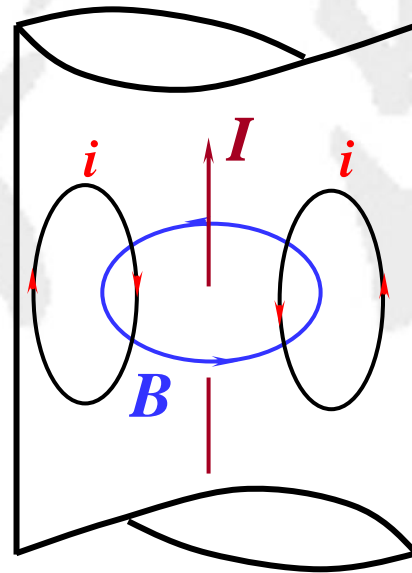
电磁学



电磁学08-08: 趋肤效应(skin effect)

- 交流电通过导体时，导体本身涡流导致等效交变电流趋向于导体外表面。
- 趋肤电流与交流电频率相关。
- 应用与危害。

越是在外侧，
磁场强度越大，
引起的感应
涡流也越大，
导致更大趋肤
效应。



频率越高，磁
场强度越大，
引起的感应涡
流也越大，导
致更大趋肤效
应。

□ Skin effect



电磁学08-09: 位移电流

- 基本完成静电学和静磁学的内容，静磁学中稍微涉及涡流和交变磁场。
- 归纳总结基本关系式：

$$\oint_L \vec{E} \cdot d\vec{l} = 0$$
$$\oint_S \vec{D} \cdot d\vec{S} = \int_V \rho_0 d\tau$$

$$\oint_L \vec{H} \cdot d\vec{l} = \iint_S \vec{j}_0 \cdot d\vec{S}$$
$$\oint_S \vec{B} \cdot d\vec{S} = 0$$

静电场：环路定理、高斯定理

静磁场：安培环路、高斯定理

$$\oint_L \vec{E} \cdot d\vec{l} = - \int_S \frac{\partial \vec{B}}{\partial t} \cdot d\vec{S}$$

法拉第电磁感应定律、楞次定律



□ 存在的问题：从静态走向动态？

$$\left. \begin{aligned} \oint_L \vec{E} \cdot d\vec{l} &= 0 \\ \oint_S \vec{D} \cdot d\vec{S} &= \int_V \rho_0 d\tau \end{aligned} \right\} \Rightarrow \begin{cases} \vec{D}(t), \vec{E}(t), \vec{P}(t), \varepsilon(t) \text{????} \\ \rho_0(t) \text{????} \end{cases}$$

□ 在经典电磁学框架下，只是进行推广，不存在矛盾

$$\left. \begin{aligned} \oint_L \vec{H} \cdot d\vec{l} &= \iint_S \vec{j}_0 \cdot d\vec{S} \\ \oint_S \vec{B} \cdot d\vec{S} &= 0 \end{aligned} \right\} \Rightarrow \begin{cases} \vec{H}(t), \vec{B}(t), \vec{M}(t), \mu(t) \text{????} \\ \vec{j}_0(t) \text{????} \end{cases}$$

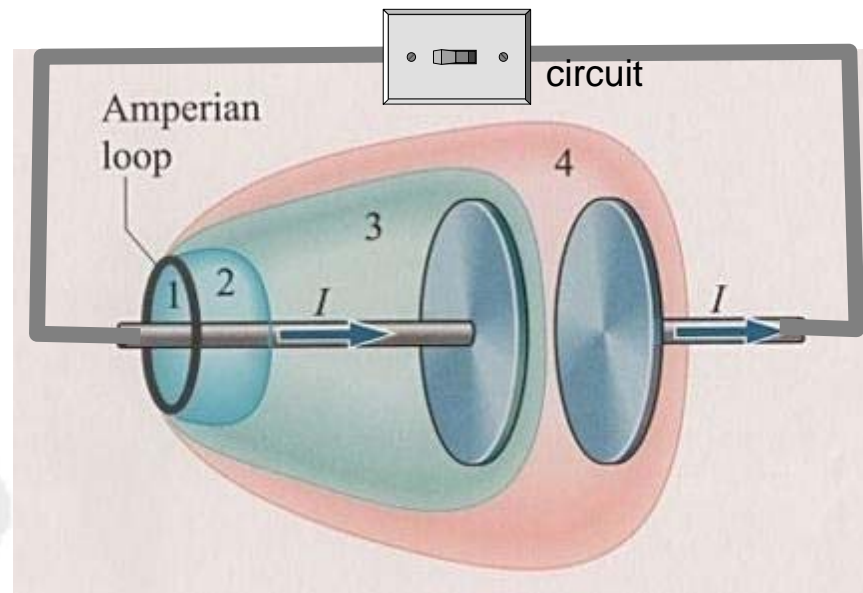
□ 在经典电磁学框架下，可以进行推广，但存在矛盾



□ 问题(1): 非恒稳电流 $I(t)$ 下的安培环路定理

$$\oint_{L(\text{Amperian loop})} \vec{H} \cdot d\vec{l}$$
$$= \iint_{S_1} \vec{j}_0 \cdot d\vec{S} = \iint_{S_2} \vec{j}_0 \cdot d\vec{S} \neq I$$
$$\neq \iint_{S_3} \vec{j}_0 \cdot d\vec{S} = 0 \neq \iint_{S_4} \vec{j}_0 \cdot d\vec{S} = I$$

在静磁学中, 上式满足的条件是恒温闭合电流 I , 而不是中间插入一个电容器。因此, 这里的类比未必十分严格。



注意: 因为平板电容充放电, S_3 包围的体积内部存在自由电荷 $\rho_0(t)$,

静电场: 环路定理、高斯定理



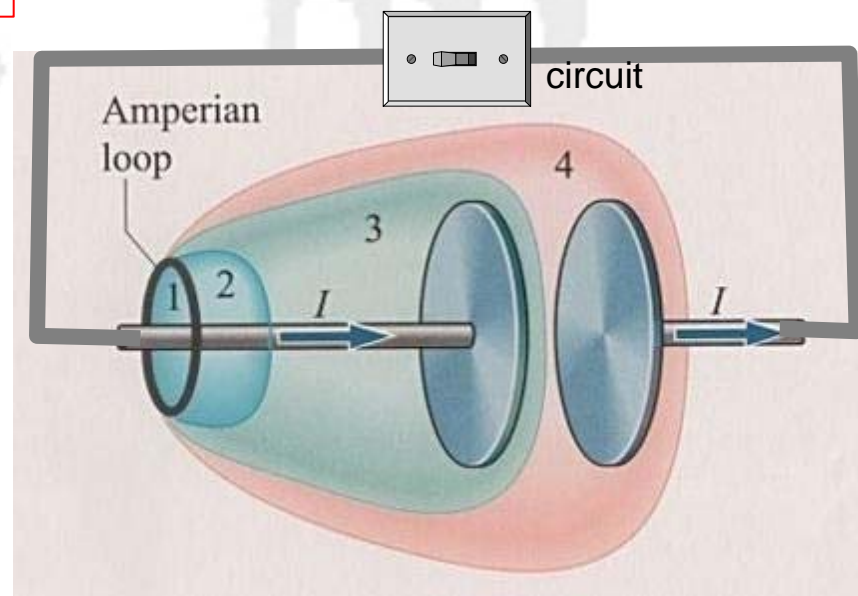
电磁学08-09: 位移电流

- 在经典电磁学框架下，无论电流是否恒稳，电荷守恒是满足的

$$\oint_S \vec{j}_0(t) \cdot d\vec{S} = -\frac{\partial}{\partial t} \iiint_V \rho_0(t) d\tau \Rightarrow$$
$$\oint_S \vec{j}_0(t) \cdot d\vec{S} + \frac{\partial}{\partial t} \iiint_V \rho_0(t) d\tau = 0$$

注意：我们偷偷将S面积分换成闭合面积分了。有没有问题？

电容器问题就不可能是恒温电流，我们称之为似稳电流。



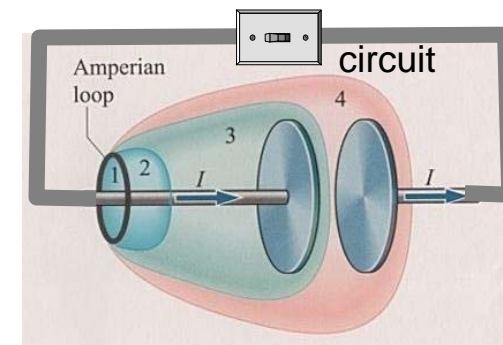


□ 引入高斯定理(非恒稳情况下也成立):

$$\left. \begin{aligned} \oint_S \vec{j}_0(t) \cdot d\vec{S} + \frac{\partial}{\partial t} \iiint_V \rho_0(t) d\tau &= 0 \\ \oint_S \vec{D} \cdot d\vec{S} &= \iiint_V \rho_0(t) d\tau \end{aligned} \right\} \Rightarrow \oint_S \vec{j}_0(t) \cdot d\vec{S} + \frac{\partial}{\partial t} \oint_S \vec{D} \cdot d\vec{S} = 0$$
$$\oint_S \vec{j}_0(t) \cdot d\vec{S} + \oint_S \left(\frac{\partial \vec{D}}{\partial t} \cdot d\vec{S} + \vec{D} \cdot \frac{\partial d\vec{S}}{\partial t} \right) = 0 \xrightarrow{\frac{d\vec{S}}{dt}=0}$$
$$\oint_S \left(\vec{j}_0(t) + \frac{\partial \vec{D}}{\partial t} \right) \cdot d\vec{S} = 0 \Rightarrow \vec{j}_t(t) = \vec{j}_0(t) + \vec{j}_D(t) = \vec{j}_0(t) + \frac{\partial \vec{D}}{\partial t}$$

□ 安培环路定理:

$$\oint_L \vec{H} \cdot d\vec{l} = \int_S \vec{j}_t \cdot d\vec{S} = \int_S \left(\vec{j}_0(t) + \frac{\partial \vec{D}}{\partial t} \right) \cdot d\vec{S}$$



□ 回答问题(1):

$$\because \oint_S \left(\vec{j}_0(t) + \frac{\partial \vec{D}}{\partial t} \right) \cdot d\vec{S} = 0 \xrightarrow{\text{For this special case}} \frac{\partial \vec{D}}{\partial t} = \vec{j}_0$$

$$\therefore \oint_L \vec{H} \cdot d\vec{l} = \int_{S1} \vec{j}_0 \cdot d\vec{S} = \int_{S2} \vec{j}_0 \cdot d\vec{S} = \int_{S3} \frac{\partial \vec{D}}{\partial t} \cdot d\vec{S} = \int_{S4} \vec{j}_0 \cdot d\vec{S} = I$$

□ 问题(2): 变化磁场产生涡电流, 变化电场产生磁场?

$$\oint_L \vec{H} \cdot d\vec{l} = \int_S \left(\vec{j}_0(t) + \frac{\partial \vec{D}}{\partial t} \right) \cdot d\vec{S} \xrightarrow{\vec{j}_0=0} \int_S \frac{\partial \vec{D}}{\partial t} \cdot d\vec{S}$$

$$\oint_L \vec{E} \cdot d\vec{l} = - \oint_S \frac{\partial \vec{B}}{\partial t} \cdot d\vec{S}$$



□ 极化电流:

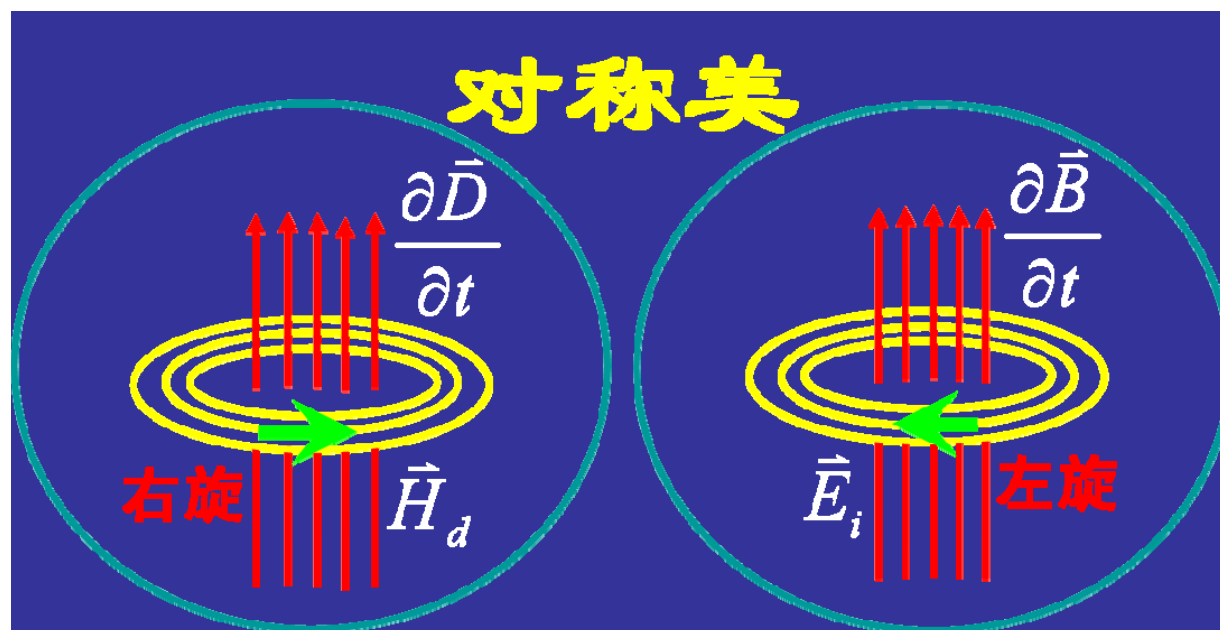
$$\begin{aligned}\because \vec{D} &= \epsilon_0 \vec{E} + \vec{P}, \quad \therefore \frac{\partial \vec{D}}{\partial t} = \frac{\partial(\epsilon_0 \vec{E})}{\partial t} + \frac{\partial \vec{P}}{\partial t} \\ \therefore \oint_L \vec{H} \cdot d\vec{l} &= \oint_S \frac{\partial \vec{D}}{\partial t} \cdot d\vec{S} = \oint_S \frac{\partial(\epsilon_0 \vec{E})}{\partial t} \cdot d\vec{S} + \oint_S \frac{\partial \vec{P}}{\partial t} \cdot d\vec{S}\end{aligned}$$

真空中的
位移电流密度

介质中的
极化电流密度



□ 欣赏一下:

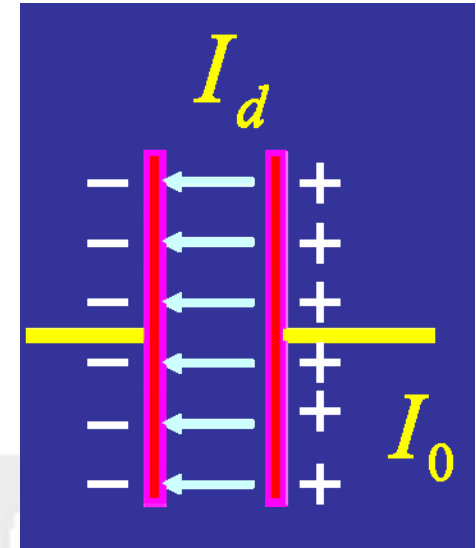


传导电流	位移电流
电荷的定向移动	电场的变化
通过电流产生焦耳热	真空中无热效应、 介质有热效应
传导电流和位移电流在激发磁场上是等效	



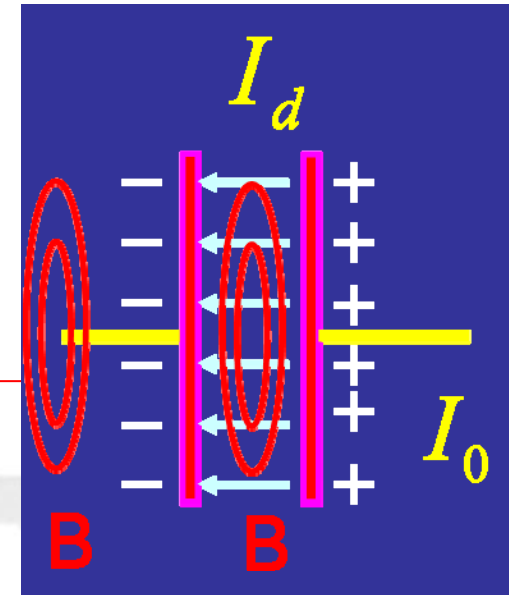
□ 【例1 p.336】 真空平行板电容器充放电，求位移电流

$$\left. \begin{aligned} I_0 &= \frac{dQ}{dt} \\ E &= \frac{Q}{\epsilon_0 S} \end{aligned} \right\} \Rightarrow \left\{ \begin{aligned} j_d &= \frac{dD}{dt} = \frac{\partial}{\partial t} \left(\frac{\epsilon_0 Q}{\epsilon_0 S} \right) = \frac{1}{S} \frac{dQ}{dt} \\ I_d &= j_d S = \frac{dQ}{dt} = I_0 \end{aligned} \right.$$





□ 【例2 p.336】 真空平行板电容器充放电，求电容器内磁场

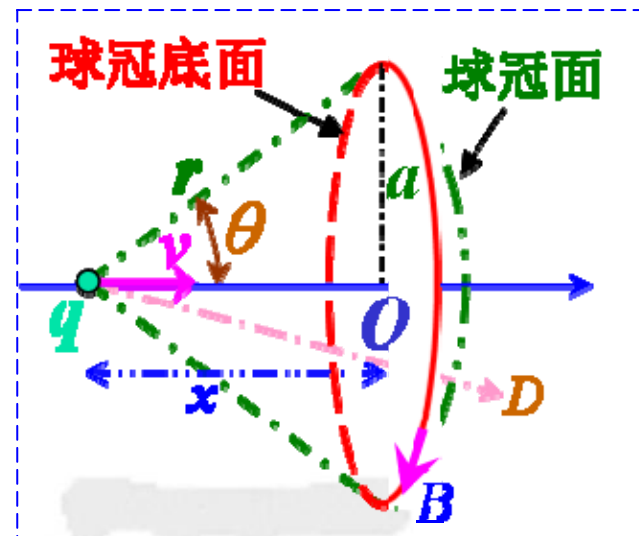


$$\oint \vec{B} \cdot d\vec{l} = \mu_0 \int \frac{\partial \vec{D}}{\partial t} \cdot d\vec{S} = \mu_0 \epsilon_0 \int \frac{d\vec{E}}{dt} \cdot d\vec{S}$$

$$\left\{ \begin{array}{l} \text{at } r < R, 2\pi r B = \mu_0 \epsilon_0 \frac{dE}{dt} \pi r^2 \Rightarrow \\ B = \frac{1}{2} \mu_0 \epsilon_0 r \frac{dE}{dt} = \frac{1}{2} \mu_0 \epsilon_0 r \frac{1}{\epsilon_0 \pi R^2} \frac{dQ}{dt} = \frac{1}{2} \mu_0 \frac{r}{\pi R^2} I_0 \\ \text{at } r > R, B = \frac{\mu_0 I_0}{2\pi r} \end{array} \right.$$



- 【例6】电荷 q 以速度 v 向 O 点运动， q 到 O 点的距离以 x 表示。在 O 点处作一半径为 a 的圆(球冠底面)，圆面与 v 垂直。试求通过该圆面的位移电流和圆周上各点处的磁感应强度。



- 电荷运动使空间电通量变化，引发磁场：

$$\text{穿过圆面的电通量: } \Phi_D = \iint_{\text{底面}S} \vec{D} \cdot d\vec{S} = \iint_{\text{球冠面}S'} \vec{D} \cdot d\vec{S}'$$

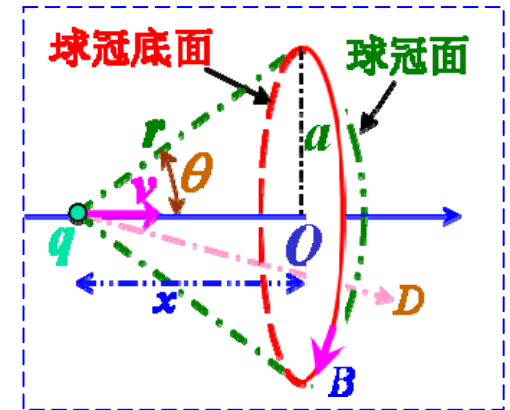
$$\because v \ll c, \quad \therefore \Phi_D = \iint_{\text{球冠面}S'} \vec{D} \cdot d\vec{S}' = D \cdot S' = D \cdot 2\pi r(r - r \cos \theta)$$

$$\because D = \varepsilon_0 E = \varepsilon_0 \frac{1}{4\pi\varepsilon_0} \frac{q}{r^2}, \quad \therefore \Phi_D = \frac{q}{2} (1 - \cos \theta) = \frac{q}{2} \left(1 - \frac{x}{\sqrt{a^2 + x^2}} \right)$$



电磁学08-09: 位移电流

□ 继续:



$$\text{位移电流: } I_D = \frac{d\Phi_D}{dt} = -\frac{q}{2} \frac{a^2}{(a^2 + x^2)^{3/2}} \frac{dx}{dt} = \frac{qa^2}{2r^3} v$$

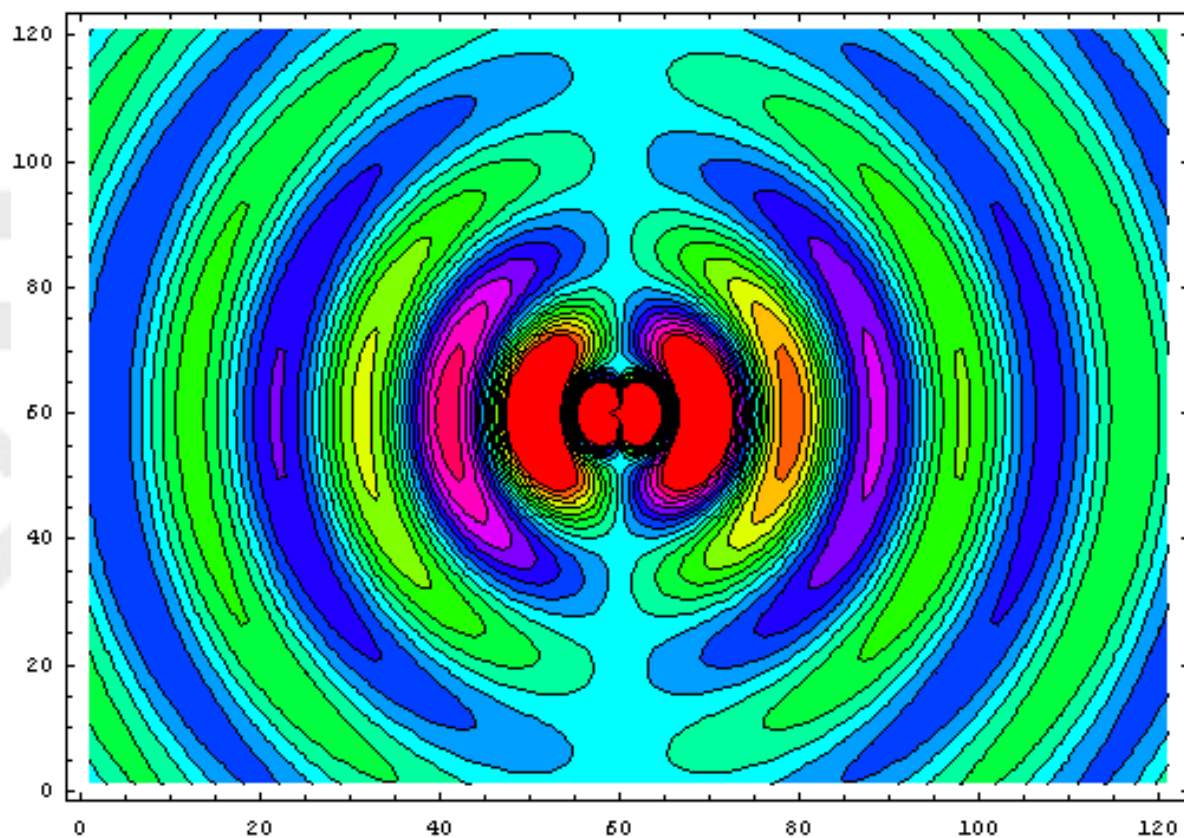
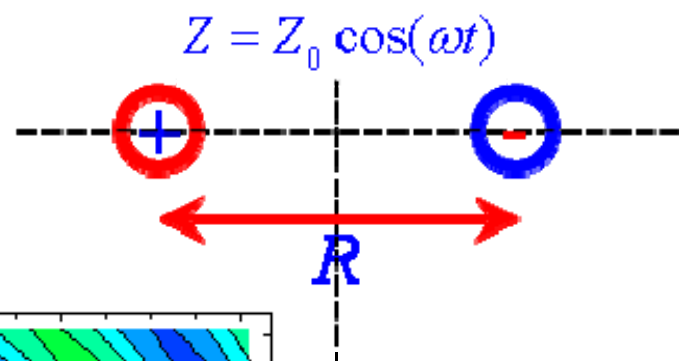
$$\text{安培回路定理: } \oint_L \vec{H} \cdot d\vec{l} = I_D = \frac{qa^2}{2r^3} v$$

$$\therefore 2\pi aH = \frac{qa^2}{2r^3} v \Rightarrow B = \frac{qa}{4\pi\mu_0 r^3} v$$

$$\vec{B} = \frac{\mu_0}{4\pi} \frac{q\vec{v} \times \vec{r}}{r^3}$$



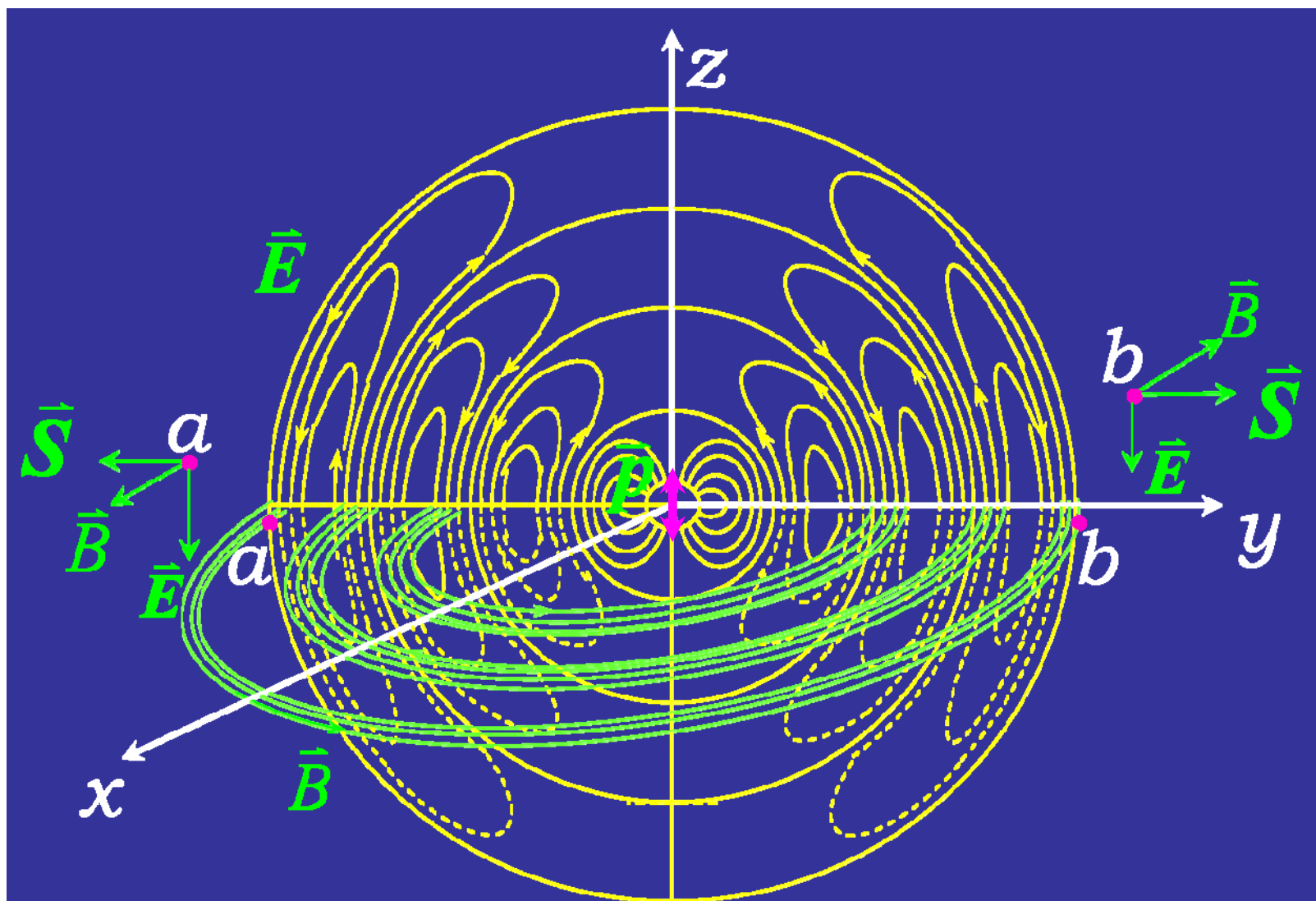
□ 振荡电偶极子的电磁场



□ 第九章将详细处理这个问题



电磁学08-10: 电磁感应的若干问题





□ 本章习题:

P354: 8.1, 8.2

P355: 8.8, 8.9, 8.12

P356: 8.19, 8.25

P357: 8.26